



بررسی چگونگی تشکیل و سیر تحولی مجموعه آذرین نفوذی ملایر با استفاده از شواهد صحرایی، بررسی‌های سنگنگاری و تحلیل‌های زمین‌شیمیایی

هادی یگانه‌فر^{*}، وحید احمدزاده^۱، رضا دیوسالار^۲

۱- دانشگاه پیام نور، صندوق پستی ۳۶۹۷، ۱۹۳۹۵، تهران، ایران

۲- گروه زمین‌شناسی، دانشکده زمین‌شناسی، دانشگاه تربیت مدرس، تهران، ایران

(دریافت مقاله: ۹۷/۵/۲۴، نسخه نهایی: ۹۷/۵/۲۴)

چکیده: مجموعه‌ای از شواهد زمین‌شیمیایی چون عدم هماهنگی الگوی تغییرات برخی از عناصر اصلی و کمیاب و مقادیر آنها بین سنگ‌های اسیدی-حدواسط و برونبوم‌های بازیک و سنگ‌های بازیک منطقه ملایر، روندهای مشاهده شده در نمودار دوتایی عناصر کمیاب سازگار و ناسازگار، معیارهایی مانند کاهش مقادیر اکسیدهای MnO , MgO , TiO_2 , FeO_t , CaO و Al_2O_3 با افزایش مقدار SiO_2 از نمونه‌های بازیک به اسیدی، روند نزولی تغییرات مقادیر Ni , Cr , Co با افزایش SiO_2 به عنوان نشانه‌ای برای آمیختگی ماقمایی ناقص و ماهیت آهکی-قلایی پتانسیم بالای گرانیت‌های منطقه ملایر در نظر گرفته شده است. سنگ‌های اسیدی و بازیک منطقه مورد بررسی تفاوت مشخصی در شب الگوی عناصر خاکی نادر (نسبت مقدار عناصر خاکی نادر سبک به سنگین LREE/HREE)، مقدار $\text{La}_{\text{N}}/\text{Sm}_{\text{N}}$ به عنوان شاخص میزان تمرکز $\text{Gd}_{\text{N}}/\text{Yb}_{\text{N}}$ ، Eu و HREE ، مقدار Eu/Sm به عنوان معیار میزان تمرکز Eu در مقایسه با عناصر با شدت میدان بالا درجه بیهنجاری Eu نشان می‌دهند. بالا بودن مقدار عناصر سنگ دوست بزرگ یون (LILE) در مقایسه با عناصر با شدت میدان بالا (HFSE) و ثبات نسبی عناصر سازگار در فازهای ناهمسان، همراه با بیهنجاری منفی Nb و Ta در همه نمونه‌ها، به عنوان شاخص فرآیند آبزدایی از قطعه فرورانده شده و نقش پوسته در تشکیل ماقمای گرانیتی منطقه هستند. فرآیند موثر در تشکیل گرانیت‌ها و دیوریت‌های منطقه (سنگ‌های اسیدی و حدواسط) ناهمسانی ماقمایی همراه با آلایش پوسته‌ای، آمیختگی ماقمایی ناقص و برای برونبوم‌های ماقمایی، آمیختگی ماقمایی است. در حالیکه بیهنجاری منفی Eu در سنگ‌های اسیدی و حدواسط با توجه به پیوستگی مشاهده شده در الگوی عناصر خاکی نادر بیانگر نقش جدایش پلازیوکلاز طی فرآیند تبلور جدایشی است، بیهنجاری منفی Eu در سنگ‌های بازیک با توجه به عدم پیوستگی، شب ناچیز و غنی‌شدگی ضعیف LREE‌ها نسبت به HREE‌ها بیانگر جدایش پلازیوکلاز در نتیجه‌ی فرآیند ذوب بخشی است. بدین ترتیب، فرآیند احتمالی موثر در تشکیل سنگ‌های بازیک، ذوب بخشی یک سنگ خاستگاه فرابازیک است. القای گرمایی ماقمایی بازیک منجر به تشکیل ماقمای اسیدی خاستگاه گرانیت‌های منطقه شده است. آمیختگی ماقمایی بازیک با ماقمای ناشی از ذوب بخشی مواد پوسته‌ای، عامل تشکیل برونبوم‌ها و دایک‌های ماقمایی بازیک بوده است.

واژه‌های کلیدی: مجموعه‌ی آذرین نفوذی ملایر، آمیختگی ماقمایی، جدایش ماقمایی، ذوب بخشی.

همچنان ادامه دارد. این بررسی‌ها موجب روشن شدن تاریخچه زمین ساختی‌ماقمایی تقریباً مناسبی از رخدادها و دگرگونی‌های آن شده است [۱۱-۱]. پژوهش‌های جدید نشان می‌دهد که تشکیل توده‌های نفوذی در بخش شمالی پهنه سندج-سیرجان (مجموعه‌های آذرین نفوذی از قبیل الوند، ملایر،

مقدمه

منطقه سندج-سیرجان به دلیل جایگاه زمین‌ساختی مهم خود در کرانه فعل قاره‌ای و به عنوان پیچیده‌ترین زیر پهنه ساختاری نوار کوهزاپی زاگرس مورد توجه زمین‌شناسان بوده و به طور گسترده‌ای بررسی شده است و پژوهش پیرامون آن

*نویسنده مسئول، تلفن: ۰۹۳۵۲۴۹۶۰۷۵، پست الکترونیکی: h.yeganehfar@gmail.com

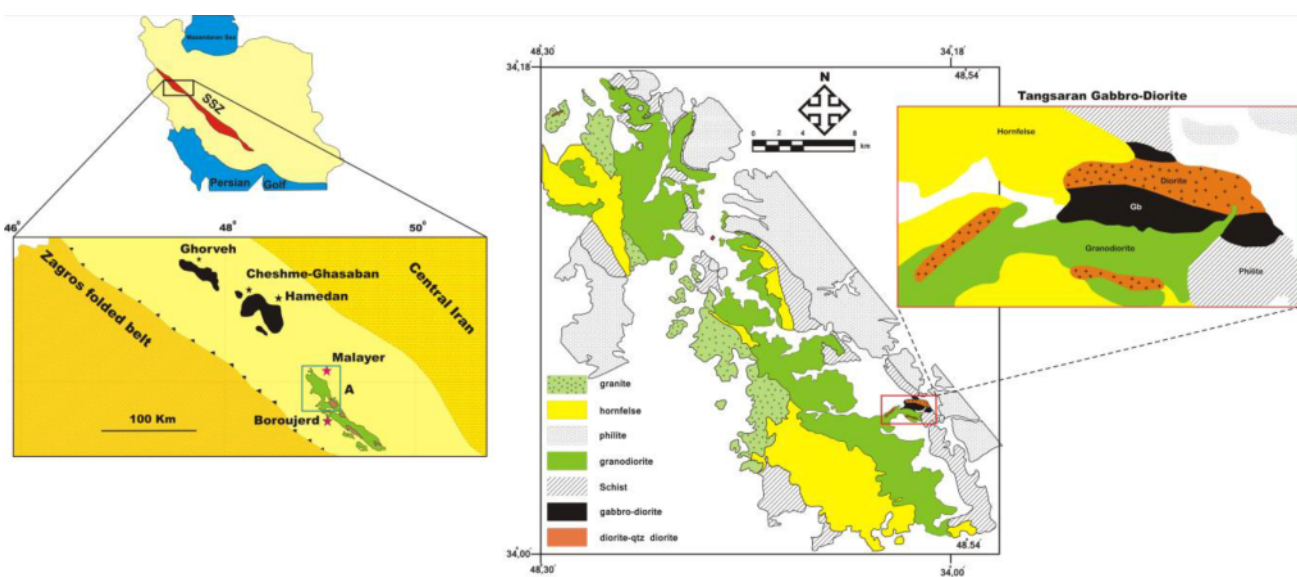
بخش‌هایی از خاستگاه گوشه‌ای (به صورت دایک و توده‌ای) در کنار گرانیتوئیدهاست که این امر می‌تواند شاهدی برای مشارکت مواد مذاب گوشه‌ای در دگرگونی‌های ماقمایی منطقه مورد بررسی باشد. مهمترین پژوهش‌های انجام شده در این منطقه توده‌های نفوذی ملایر را به عنوان بخش شمال غربی مجموعه نفوذی ملایر-بروجرد با تمرکز بر سنگ‌های مافیک آن مورد توجه قرار داده است [۲۷-۲۱].

افتخارنژاد [۲۸] پهنه سندج-سیرجان را به دو بخش شمالی و جنوبی تقسیم کرده و به نظر او مجموعه آذرین نفوذی ملایر در زیرپهنه شمالی پهنه سندج-سیرجان، یعنی گلپایگان-سندج قرار گرفته است. منطقه مورد بررسی در عرض جغرافیایی $34^{\circ}20' - 34^{\circ}30'$ شمالی و طول $54^{\circ} - 55^{\circ}$ شرقی واقع است، به طوری که واحدهای دگرگونی مجاورتی (هورنفلس) و دگرگونی ناحیه‌ای (شیست‌ها، اسلیت، فیلیت) در بیشتر نقاط درکناتکت با توده نفوذی مشاهده می‌شوند (شکل ۱). کانی‌های شاخص موجود در شیست‌ها و هورنفلس‌های لکه‌دار، آندالوزیت و گارنت هستند، که هضم آنها در سطوح جایگیری ماقما منجر به تشکیل گرانیتوئیدهایی با بیگانه بلورهای آندالوزیت و گارنت شده است. مجموعه آذرین نفوذی با ملایر طول تقریبی ۳۵ کیلومتر و عرض کمتر از ۱۰ کیلومتر از روند کلی شمال غرب-جنوب شرقی پهنه سندج-سیرجان پیروی می‌کند و بخشی از آن در گستره شمالی شهر سامن رخمنون عدی شکل دارد.

روش بررسی

هدف از این پژوهش بررسی ویژگی‌ها، چگونگی تشکیل و تحول توده‌های نفوذی منطقه ملایر است برای این منظور، بازدیدها صحرایی و بررسی‌های آزمایشگاهی صورت گرفت. نتیجه‌گیری‌ها بر بازدیدهای صحرایی، بررسی‌های سنگنگاری و تحلیل روندهای زمین‌شیمیایی گرانیت‌ها و سنگ‌های بازیک منطقه استوار است. نخست با نمونه‌برداری از تنوع سنگ‌شناسی و تهیه مقاطع نازک از آنها، نقشه مناسبی از پراکندگی واحدهای آذرین منطقه تهیه شد. سپس با بررسی‌های زمین‌شیمیایی، و نتیجه‌گیری نهایی انجام خواهد شد. تجزیه‌های زمین‌شیمی به دو روش طیف‌سنجی فلئورسانس پرتوایکس، XRF (دانشگاه تربیت معلم تهران) بر برونبوم‌ها و طیف‌سنجی جرمی پلاسمایی جفت شده القایی، ICP-MS (آزمایشگاه AMDEL کشور استرالیا) بر گرانیت‌ها و سنگ‌های بازیک منطقه انجام شده است.

بروجرد، الیگودرز، گلپایگان، بوئین-میاندشت) به دلیل فرورانش پوسته اقیانوسی نئوتیس به زیر ورقه‌ی قاره‌ای ایران در غرب سندج-سیرجان در ژوراسیک میانی صورت گرفته است [۱۲-۱۵]. در مورد سن دقیق فرورانش و فعالیت ماقمایی وابسته به آن نظریه‌های متفاوتی وجود دارد، برای مثال معین وزیری و همکاران [۱۶] معتقدند که پس از شکسته شدن پوسته اقیانوسی نئوتیس در کرتاسه پسین، فرورانش بخش جنوب غربی این پوسته به زیر بخش شمال شرقی آن طی دوره پالئوزن سبب فعالیت ماقمایی در دوره اولیگوسن شده است. بدین‌ترتیب، به نظر آنها برخورد نهایی دو صفحه عربستان و ایران در پایان اولیگوسن و در آغاز میوسن صورت گرفته است. ماهیت زمین‌شیمیایی این توده‌های نفوذی بیانگر ماهیت آهکی قلایی وابسته به کمان ماقمایی کرانه فعال قاره‌ای (نوع آندی) است [۱۷-۱۹]. بدلیل تنوع در ویژگی‌های این توده‌های نفوذی در منطقه، بررسی چگونگی تشکیل آنها نیز به نتایج متفاوتی منجر شده است. برای مثال، قاسمی و ولی‌زاده [۱۷] و سپاهی [۱۸] خاستگاه با ذوب‌بخشی را در تشکیل توده با تولیتی الوند چشمگیر دانسته و در کنار مشارکت جزء گوشه‌ای، نوع پوسته‌ای- گوشه‌ای (Hs-S) را برای آنها در نظر گرفته‌اند این در حالی است بر پایه بررسی‌های احمدی خلنجی [۱۹]، گرانیتوئیدهای بروجرد از نوع-I بوده و نتیجه ذوب قاعده پوسته قاره‌ای هستند. همچنین، خاستگاه دورگه نیز برای گرانیتوئید بوئین-میاندشت پیشنهاد شده است [۱۷]. بدین ترتیب، حضور توده‌های ماقمایی بازیک کنار گرانیت‌ها نقش موثری در تحلیل‌های ارائه شده ایفا کرده است، ویژگی که در اغلب توده‌های آذرین نفوذی بخش شمالی منطقه سندج-سیرجان دیده می‌شوند و حجم زیادی از توده‌های گرانیتوئیدی (با خاستگاه ذوب‌بخشی و دورگه) در کنار توده‌های کوچک گابرو-دیوریتی (از خاستگاه گوشه‌ای) قرار گرفته‌اند [۱۰، ۱۸، ۲۰]. به نظر می‌رسد که عامل ایجاد چنین پراکندگی فضایی از توده‌های بازیک، ترازهای متفاوت جایگیری مواد مذاب گوشه‌ای در قسمت‌های مختلف منطقه سندج-سیرجان باشد. برای مثال، این توده‌ها در قسمت‌های شمالی‌تر و در قروه تا سندج حضور گسترده‌تری داشته‌اند و به سمت جنوب در همدان رخمنون‌های محدودتری به صورت گابروی چشمی قصابان در غرب همدان و سرکان در شرق آن و حتی به صورت قطعاتی در توده گرانیتوئیدی الوند (به صورت برونبوم بزرگ) دیده می‌شوند و در ملایر، الیگودرز و بروجرد بسیار محدودتر شده‌اند. نتایج این پژوهش نیز در منطقه ملایر بیانگر حضور



شکل ۱ تعدادی از توده‌های نفوذی بخش شمالی پهنه سندج-سیرجان و جایگاه مجموعه آذرین نفوذی ملایر. تصویری بزرگنمایی شده رخمنون گابرو-دیوریت کوه تنگساران را نشان می‌دهد.

این رگه‌ها قطعات ناشی از تخریب و دگرسانی کانی‌های چون بیوتیت و پلاژیوکلاز را در خود جمع کرده‌اند، در یک مجموعه بافت دانه‌ای متوسط تا درشت، سراسر بخش‌های شمالی و شمال شرقی این توده آذرین را گرانوودیوریت‌ها و دیوریت‌های کوارتزدار تشکیل می‌دهند که دارای ترکیب کانی‌شناسی تقریباً مشخصی شامل: کوارتز، پلاژیوکلاز (۳۱/۸٪-۵۳/۸٪)، اورتوکلаз (۶-۳٪)، بیوتیت (۵/۸٪-۲۸/۳٪)، هورنبلند سبز (۱۹/۶٪)، اسفن (کمتر از ۰/۶٪)، آپاتیت، زیرکن و آلانیت است. آندالوزیت و گارنت نیز در برخی از نمونه‌های گرانوودیوریتی دیده می‌شوند که شاهدی بر هضم واحد دگرگونی توسط مagma در افق جایگیری هستند. میلیونیتی شدن و اثر تنش‌های پس از سردشدن در بخش‌هایی از گرانوودیوریت‌های شمال شهر سامن، به ویژه در لبه قابل توجه است. افزون بر این، رخمنون‌های کوارتز دیوریتی تا تونالیتی به طور پراکنده در میان یا لبه بخش گرانوودیوریتی دیده شده‌اند که به صورت سری دگرگونی موضعی و بدون سطح تماس مشخص با آنها حضور دارند. مونزو-سینوگرانیت‌ها که مرز مشخصی با هم ندارند نسبت به گرانوودیوریت‌ها، رخمنون محدودتر و گسترش کمتری داشته (شکل ۱) و در چند نقطه محدود با آن سطح تماس مشخصی دارند. تفاوت‌های کانی‌شناسی آن با بخش گرانوودیوریتی، فراوانی فلدسپار قلیایی (اورتوکلاز و میکروکلین) نسبت به پلاژیوکلاز، کاهش نسبت حجمی کانی‌های بازیک چون

بحث و بررسی سنگ‌های آذرین در منطقه مورد بررسی

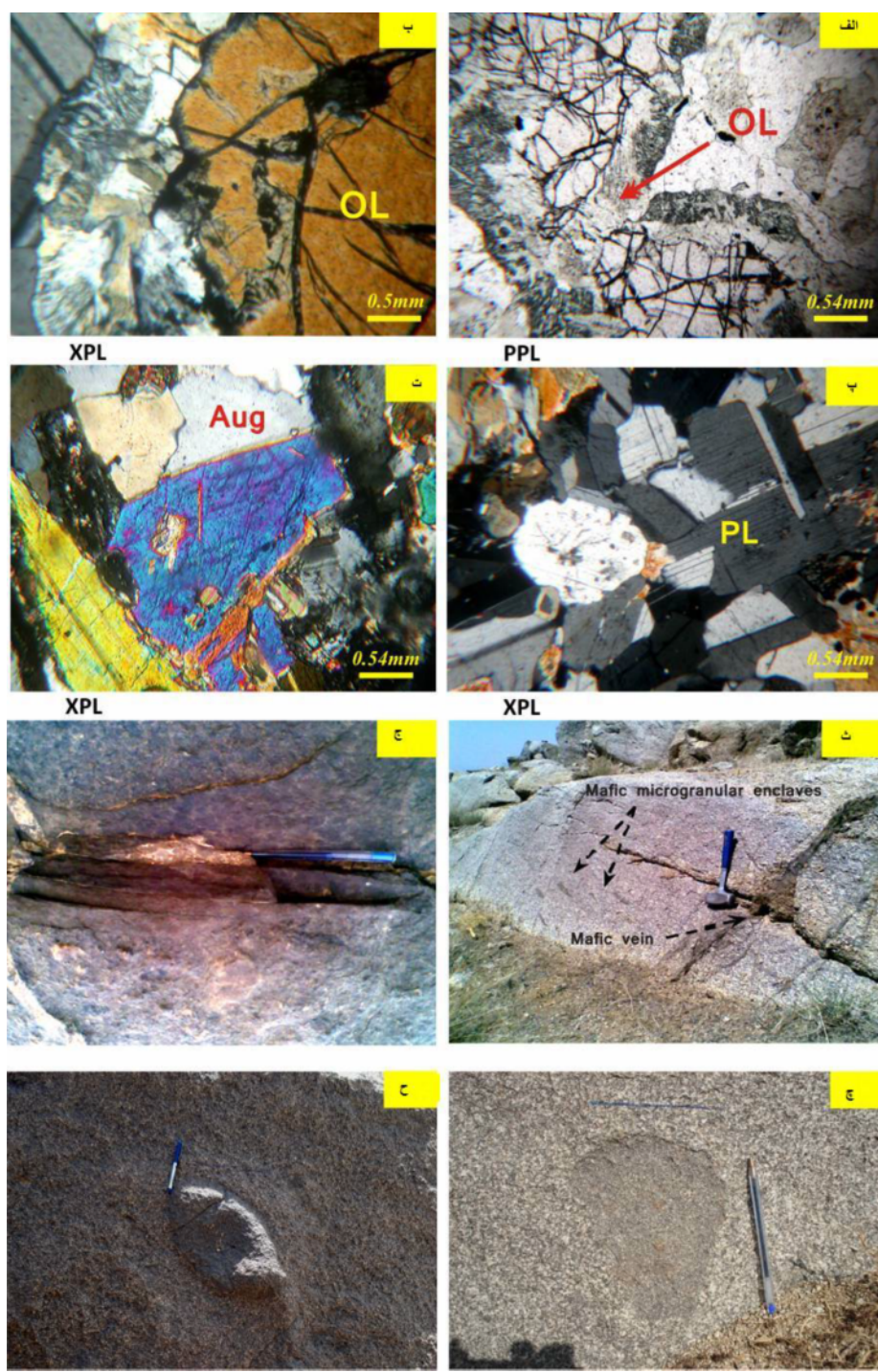
بر اساس بازدیدهای صحرایی و بررسی‌های میکروسکوپی، مجموعه آذرین نفوذی ملایر را در حالت کلی می‌توان به سه بخش اصلی ۱- گرانیتی (شامل سینو و مونزوگرانیت)، ۲- گرانوودیوریتی (شامل گرانوودیوریت همراه با تونالیت و کوارتز دیوریت که مرز مشخصی با آن ندارند) و ۳- گابرو-دیوریتی (شامل گابرو، دیوریت، مونزوگابرو) تقسیم کرد. قسمت عمده این مجموعه را گرانوودیوریت‌ها تشکیل می‌دهند که دارای ترکیب کانی‌شناسی تقریباً مشخصی چون: کوارتز، پلاژیوکلاز، فلدسپارقلایی (میکروکلین و اورتوکلاز)، بیوتیت، هورنبلند سبز، آپاتیت، زیرکن، اسفن و آلانیت است. در این بخش، بیوتیت یک فاز شاخص و در برخی مناطق جهت یافته بوده، با آرایش خطی و منظم خود ظاهری لایه لایه به سنگ‌ها داده است [۲۹]. در بررسی‌های میکروسکوپی دیده می‌شود که بیوتیت به کلریت، اسفن، روتیل، تیتانیت و اکسید آهن تجزیه شده است. پلاژیوکلازها نیز به سربیت و مسکوویت (اندک) و زوئیزیت تجزیه شده‌اند. همرشدی فلدسپار (اورتوکلاز) با کوارتز (میرمکیت)، پرتیت، میکروپرتریت و میکروکلین، رگچه‌های کوارتزی باز تبلور یافته نتیجه تغییرشکل حالت جامد در پاسخ به تنش‌های وارد بوده است [۳۰]. رگه‌های کوارتزی مربوط به تزریق مایع سیلیسی در مراحل نهایی جدایش ماقمایی هستند.

(شکل ۲ ت). از دیگر پدیده‌های قابل توجه برای این بخش حضور اتوپلیت‌های بازیک (کلینوپیروکسن بیش از ۹۵٪ همراه با پلاژیوکلاز) و رگچه‌های بازیک تزریق شده‌ای از جنس آن در ریزشکاف‌های درون توده الیوین دار و حضور انباشت‌های الیوین کروی شکل به صورت لخته‌هایی با سطح برجسته (سطح خالدار) روی این توده است (شکل‌های ۲ ز، ژ). نکته قابل توجه در بررسی های میکروسکوپی، حضور الیوین با هضم شدگی و گردشگی مشخص و لبه واکنشی در تقابل با پلاژیوکلازهای کلسیمی (تشکیل هورنبلند سبز و اسپینل سبز) است، که در کنار مشاهدات صحرایی، نشان دهنده حضور آنها به صورت بیگانه بلور و ناپایداری آنها در محیط است. همچنین الیوین‌های یاد شده در راستای ترک‌های سطح خود دارای کانی‌های کدر هستند (شکل‌های ۳ الف، ب، پ). کانی آپاتیت در این سنگ‌ها شکل سوزنی داشته و به صورت میانبار در فلدسپار قلیایی (میکروکلین و اورتوکلاز) دیده می‌شود. مجموع این شواهد بیانگر تداخل بین مذاب‌های بازیک (با دمای بالا) و اسیدی (با دمای کمتر) و رشد سریع و همچنین صعود ناگهانی یک مجموعه دورگه است [۳۱]. مشاهده کانی‌های گارنت، آندالوزیت و کردیریت در آنها بیانگر هضم واحدهای شیستی مجاور است. افزون بر دایک‌ها و رگه‌های کوارتز، کوارتز-تورمالین دار پگماتیتی، آپلتی و رگچه‌های تورمالینی از مهمترین بخش‌های دیده شده در بازدیدهای صحرایی، دایک‌ها و رگه‌های بازیک (شکل‌های ۲ خ، ذ، ر، ۳ ث) هستند که در لبه‌های توده نفوذی و حتی در واحدهای آذرین و دگرگونی حضور دارند. شکل‌های ۲ ح، د، مقطع نازک تهیه شده برای دایک دلربیتی موجود در لبه بخش شمالی رخمنون گابرو-دیوریت‌های کوه تنگسaran را نشان می‌دهند که شبکه‌ای از ریزسنگ‌های پلاژیوکلاز در فضای بین خود دارای بلورهای کوچک و تحلیل رفته الیوین (با لبه واکنشی مشخص) هستند افرون بر این، بیگانه بلورهایی از کوارتز نیز در بخش‌هایی از مقطع میکروسکوپی دیده شده است. دایک‌های تیره رنگ موجود در لبه توده‌های نفوذی منطقه مورد بررسی و درون واحدهای دگرگونی را که از نظر کانی شناسی به طور غیرعادی از کانی هورنبلند سبز غنی هستند و به هیچ یک از واحدهای آذرین منطقه شباهتی ندارند و برخلاف دایک‌های ریز دانه بازالتی فاقد لبه انجاماد سریع و دارای بافت پورفیری هستند.

هورنبلند سبز و بیوتیت و حضور کانی تورمالین در برخی از نمونه‌ها هستند. فازهای فرعی آن سوزن‌های آپاتیت، به صورت میانبار در اورتوکلاز و بیوتیت، زیرکن و اسفن است. قسمت‌های دیوریتی تا گابرو-دیوریتی (کمتر از ۲ کیلومتر مربع) در کنار روستاهای قلعه مهدی خان و ارگس سفلی (شکل‌های ۲ الف، ب، پ) به صورت چند توده با رخمنون طویل چندصد متری، رنگ کاملاً تیره و ظاهری شبیه به هورنفلس حضور دارند. رخمنون توده‌های بازیک گابروی محدود به کوه تنگسaran (شکل‌های ۱ و ۲ ب، پ) بوده و شامل گابرو-دیوریت دارای الیوین دار (بخش عمدۀ دامنه شمالی) و گابرو-دیوریت اوژیت و اوژیت و فاقد الیوین (سراسر بخش جنوبی و قسمتی از دامنه شمالی) است. مجموعه کانی شناسی مشاهده شده در دیوریت‌ها (شکل‌های ۲ الف و ۳ ت) شامل پلاژیوکلاز (٪۰.۵۸)، هورنبلند سبز (٪۰.۷۸)، بیوتیت (٪۰.۸۴)، کوارتز (٪۰.۳۳)، اورتوکلاز (٪۰.۳۱۶)، آپاتیت، اسفن و زوئیزیت همراه با کانی‌های کدر، کلریت و سریسیت و گاهی درشت بلورهای آندالوزیت با بافت ریزدانه تا پورفیری است. توده گابرو-دیوریتی دارای اوژیت و فاقد الیوین دامنه جنوبی، دارای کانی‌های پلاژیوکلاز (به طور متوسط ٪۰.۶۷)، پیروکسن (تیتان اوژیت به طور متوسط ٪۰.۲۲)، هورنبلند سبز (ترمولیت-اکتینولیت به طور متوسط ٪۰.۹)، اسپینل سبز (هرسی نیت به طور متوسط ٪۰.۲-۱) و کردیریت با تجزیه داربستی شکل و گاهی گارنت است و بافت دانه‌ای تا دلربیتی نشان می‌دهند. اما توده گابرو-دیوریتی اوژیت و الیوین دار دامنه شمالی کوه تنگسaran از کانی‌های پلاژیوکلاز (به طور متوسط ٪۰.۵۸)، پیروکسن (تیتان اوژیت به طور متوسط ٪۰.۱۹)، الیوین (به طور متوسط ٪۰.۱۷۶)، اسپینل، هورنبلند سبز، کوارتز، اورتوکلاز، آپاتیت و کانی کدر (روی هم ٪۵ سنگ) تشکیل شده است. توده‌های نام برده بافت ریز دانه تا دلربیتی نشان می‌دهند و کانی‌ها در مقطع میکروسکوپی، دانه‌ای نیمه خودشکل هستند. بر اساس بازدیدهای صحرایی، بخش شمالی کوه تنگسaran از چند فاز وابسته به هم شامل یک قطب سرشار از پلاژیوکلاز با بافت انباشتی تشکیل شده است، که در بخش‌هایی از نمونه و در فضای بین پلاژیوکلازها، کانی پیروکسن دیده می‌شود. این سنگ‌ها در نمونه دستی بافت پورفیری دارند (شکل‌های ۲ ت، ج)، اما قطب دیگر دارای کانی‌های الیوین و پیروکسن در کنار پلاژیوکلاز (به عنوان یک فاز عمدۀ) است که این دو فاز با هم تماس مشخصی دارند.



شکل ۲، ب، پ- نمایی از رخنمون‌های توده‌های گابرو- دیوریتی قلعه مهدی خان و دامنه جنوبی کوه تنگسازان در ارگس پایین، دامنه شمالی کوه تنگسازان، ت- تصویری از مقطع نازک تهیه شده از انباشت الیوین- پلاژیوکلاز، و ث، ج- تصاویری از وضعیت صحرایی آنها؛ ج، ح، خ، د- تصاویری از مقطع نازک تهیه شده برای دایک دریک دلیری موجود در لبه توده گابرو- دیوریتی بخش شمالی کوه تنگسازان (د) که حضور بلورهای کوچک و تحلیل رفتہ ای الیوین (دایره های قرمز رنگ) با لبه واکنشی مشخص در تقابل با پلاژیوکلازها و بیگانه بلور کوارتز در شبکه‌های از باگت‌های نازک (ریزسنگ) پلاژیوکلاز به خوبی دیده می‌شود، ذ- تصویری از دایک بازیک درون توده ای، ر- تصویری از بافت پورفیری در دایک بازیک تصویر خ؛ ز- الیوین‌هایی که در سطح توده گابرو - دیوریتی الیوین و اوژیت دار به طور برجسته حضور دارند و ظاهری خالدار به آن بخشیده‌اند (الیوین: OL، کوارتز: Qtz، در نور قطبیده متقاطع: XPL، در نور قطبیده صفحه‌ای: PPL).



شکل ۳ الف، ب، پ- تصاویری از مقاطع نازک تهیه شده از توده گابرو-دیوریتی بخش شمالی کوه تنگسaran که به ترتیب بیانگر لبه واکنشی الیوین با کانی های در بر گیرنده و رسوب کانی های کدر در درز و ترک های سطح آن در اثر برداشته شدن فشار از روی مجموعه (مذاب) دورگه حمل کننده ی آن طی صعود (الف، ب) و حضور پلازیوکلазها در کنار آنها در مجموعه ای با بافت دلبریتی و متراکم است، ت- تصویری از دیوریت های پیروکسن دار روتستای قلعه مهدی خان و ماکل دوتایی مشخص در کانی اوژیت، ث- تصویری از رگه بازیک سرشار از کانی هورنبلند سیز و بیوتیت که در کنار برونبومهای میکرودانه ای عدسی شکلی که راستای محور طولی موازی با راستای برگوارگی سنگ میزبان دارند قرار گرفته است، ج- بیگانه بلورهایی از خاستگاه واحدهای شیستی کنار توده گرانو-دیوریتی که در برابر گرمای مagma میزبان مقاومت نموده و کاملاً هضم نشده اند و چنان که دیده می شود، حتی لایه بندي شیست خاستگاه همچنان پارچه است، چ- برونبوم magma اسیدی یا میکرو-گرانیتوئیدی و ح- برونبوم magma ای بازیک دوکی شکل (OL: الیوین، Aug: اوژیت و PL: پلازیوکلاز).

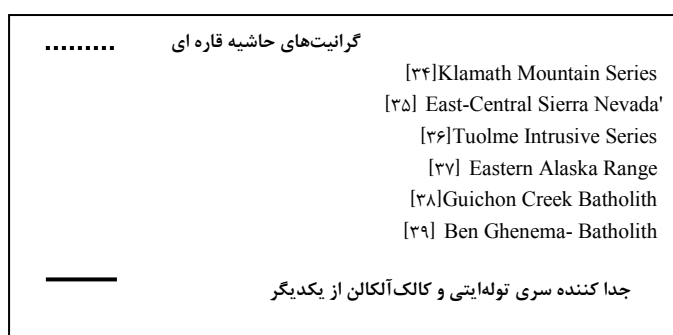
در زینولیت‌هاست. برونبوم‌های سورمیکاسه یا توده‌های مقاوم نیز که فراورده بر جای مانده از ذوب‌بخشی سنگ‌های پلیتی یا متاپلیتی هستند نیز دیده شده‌اند و مانند زینولیت‌ها متاپلیتی شواهد صعود مذاب گرانیتی تا ترازهای بالا و تقابل بین ماقما و مواد پوسته‌ای هستند. حضور برونبوم‌های ماقمایی اسیدی با ترکیب کانی‌شناسی مشابه میزان و روندهای زمین شیمیایی مشابه با آن در بخش‌های لبه‌ای، نشانه خاستگاه یکسان آنهاست. این برونبوم‌ها در توده نفوذی را به گسیختگی‌های لبه‌ای در اثر ضربان‌های تزریق پیاپی در فازهای اولیه و سقف توده نفوذی نسبت داده‌اند. شکل‌های کروی، بیضوی و دوکی شکل برونبوم‌های ماقمایی بازیک با شواهد مشخص جریان ماقمایی در مقیاس میکروسکوپی و ریختاری مرز برونبوم‌میزان در بررسی‌های صحرایی و میکروسکوپی در کنار تفاوت‌های کانی‌شناسی و زمین شیمیایی موجود بین آنها می‌تواند نتیجه حضور این برونبوم‌ها به صورت بسته‌های ماقمایی بازیک‌تر نسبت به ماقمایی میزان و نشانه‌ای بر آمیختگی ماقمایی اسیدی و بازیک باشد [۳۲، ۳۳]. همچنین، شکل برونبوم‌ها در لبه توده آذرین کشیده است و به سمت مرکز توده به صورت کروی یا بدون شکل تغییر می‌کنند که این امر از جمله شواهد رخداد جریان ماقمایی و حضور این برونبوم‌ها به صورت بسته‌های ماقمایی در ماقمایی گرانیتی است.

ماهیت زمین شیمیایی

بررسی‌های زمین شیمیایی توده‌های گرانیتی مجموعه آذرین نفوذی ملایر بیانگر ماهیت آهکی قلیایی پتاسیم بالای آنهاست (شکل ۴) [۳۴-۳۹]. ماهیت آهکی قلیایی پتاسیم بالای این گرانیتها را می‌توان به حضور آنها در مناطق فرورانشی کرانه برخور迪 (کمان ماقمایی کرانه قاره‌ای در فرورانش نوع آندی) نسبت داده و بدین ترتیب رهایی سیال‌های سرشار از عناصر ناسازگار از پوسته اقیانوسی فرورانده شده را در بخشی از دگرگونی‌های ترکیبی مذاب اولیه آنها مؤثر دانست [۴۰-۴۴]. روبرت و کلمنس [۴۵]، گرانیتها نواع آندی را به ذوب‌بخشی گوشته بالایی و واکنش‌های بینابینی با سیال‌های آزاد شده از قطعه فرورانده آبزدایی شده پوسته اقیانوسی و همچنین

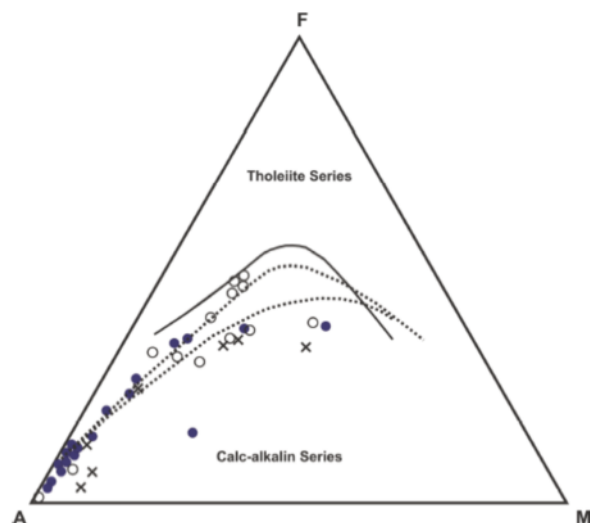
بر اساس بازدیدهای صحرایی، دایک‌ها و رگه‌های یادشده به دو دسته لبه‌ای و داخلی تقسیم شده‌اند. رگه‌های لبه‌ای به صورت توده‌هایی کم وسعت و پراکنده در لبه‌ها و روی توده اصلی دیده می‌شوند و رنگ تیره مایل به سبز دارند و در نمونه دستی بافت پورفیری نشان می‌دهند. رگه‌های لبه‌ای دارای مجموعه کانی‌شناسی دیوریتی شامل پلاژیوکلاز (۲۹-۶۷٪)، بیوتیت (۳/۳-۲۱٪)، هورنبلند سبز (ترمولیت-اکتینولیت)، زوئیزیت (۳-۶٪)، اپیدوت، آپاتیت، اسفن (روی هم ۳-۷٪) در یک مجموعه با بافت ریزدانه تا دلریتی است. رگه‌های داخلی تیره رنگ را درون توده آذرین، فیلیت‌ها و هورنفلس‌های منطقه می‌توان مشاهده نمود که مانند رگه‌های لبه‌ای سرشار از کانی‌های فرومیزین (هورنبلند سبز و بیوتیت) هستند. این رگه‌ها افرون بر درشت بلورهای پلاژیوکلاز در برخی نمونه‌ها، دارای زینوکربیست‌های کوارتز هستند (شکل ۲ ر) که از رگه‌های کوارتزی مجاور گرفته شده‌اند و بیانگر تقدم تزریق مذاب سیلیسی بر تزریق مذاب بازیک در این مناطق است. بنابراین از نظر مجموعه کانی‌شناسی تفاوت چندانی بین رگه‌های لبه‌ای و داخلی وجود ندارد و تفاوت اندکی در نسبت مودال کانی‌های آنها دیده می‌شود. شامل پلاژیوکلاز (۳۰-۵۵٪)، بیوتیت (۸/۸-۲۰٪)، هورنبلند سبز (ترمولیت-اکتینولیت)، زوئیزیت (۹/۲۷-۴۳٪)، کلریت، اپیدوت، آپاتیت، اسفن (روی هم ۲-۱۲٪) در یک مجموعه دیوریتی با بافت ریزدانه تا پورفیری است. گرانیتها مجموعه آذرین نفوذی ملایر دارای برونبوم‌های ماقمایی و زینولیت‌های دگرگونی متنوعی هستند. بر پایه بازدیدهای صحرایی (شکل، رنگ، بافت، ریختار مرز آنها با میزان) و بررسی‌های آزمایشگاهی (بررسی مقاطع نازک و تجزیه شیمی سنگ کل) و بر اساس شباهت‌های کانی‌شناسی و نزدیکی‌های زمین شیمیایی با سنگ میزان، می‌توان برونبوم‌های ماقمایی موجود در توده نفوذی ملایر را به دو دسته اسیدی و بازیک تقسیم کرد (شکل‌های ۳، ج، چ). وجه تمایز برونبوم‌های ریزدانه بازیک (با ترکیب کانی‌شناسی دیوریت، کوارتز دیوریت، مونزونیت و کوارتز مونزونیت) و اسیدی (گرانو دیوریت و سینوگرانیت) با زینولیت‌های رسی دگرگونه مجموعه آذرین نفوذی ملایر بافت هورنفلسی و غیر ماقمایی زینولیت‌ها و حضور برخی کانی‌های ویژه رخساره‌های دگرگونی

برونبومها نسبت داد. برخی از ویژگی‌های سنگ‌های نفوذی مجموعه آذرین نفوذی ملایر عبارتند از: طیف گسترده تغییرات سیلیس (اسیدی-بازیک) در تجزیه شیمی سنگ کل این توده‌های نفوذی (۷۸٪/۴۷٪) به همراه تغییر ترکیب کانی‌شناسی (شکل ۵ ت) از گرانیت تا دیوریت، نبود مسکوویت اولیه در بررسی‌های سنگ‌نگاری واحدها، تغییر درجه اشباع از آلومینیم (ASI) از ۱/۸۸ تا ۰/۴۵ (شکل ۵ پ)، وجود هیپرستن به طور متوسط در همه نمونه‌ها و دیوپسید به طور متوسط در تعدادی از آنها، مشاهده شاخص‌هایی از کانه‌زایی ناچیز مس، نبود درجات شدید دگرگونی و توالی‌های کامل دگرگونی تا مرز تشکیل گنیس و میگماتیت، حضور توده‌های مقاوم یا سورمیکاسه، برونبوم‌های ماقمایی اسیدی و بازیک، زینولیت‌های دگرگونی و زیگانه بلورهای پایدار، عدم حضور نه چندان گسترده هورنبلند در نمونه‌های گرانیتی منطقه، ماهیت آهکی قلیایی پتابسیم بالا و متاآلومین تا اندرکی پرآلومین توده‌های نفوذی منطقه (شکل ۴)، و همخوانی الگوی پراکندگی‌ها در نمودارهای Na_2O - K_2O و CaO - FeO (شکل ۵). این بیانگر نبود ویژگی‌ها مرز مشخص بین گرانیت نوع S و I در این منطقه و نزدیکی بیشتر به گرانیت آندی نوع I است، چنان که در شکل ۵ ت دیده می‌شود.

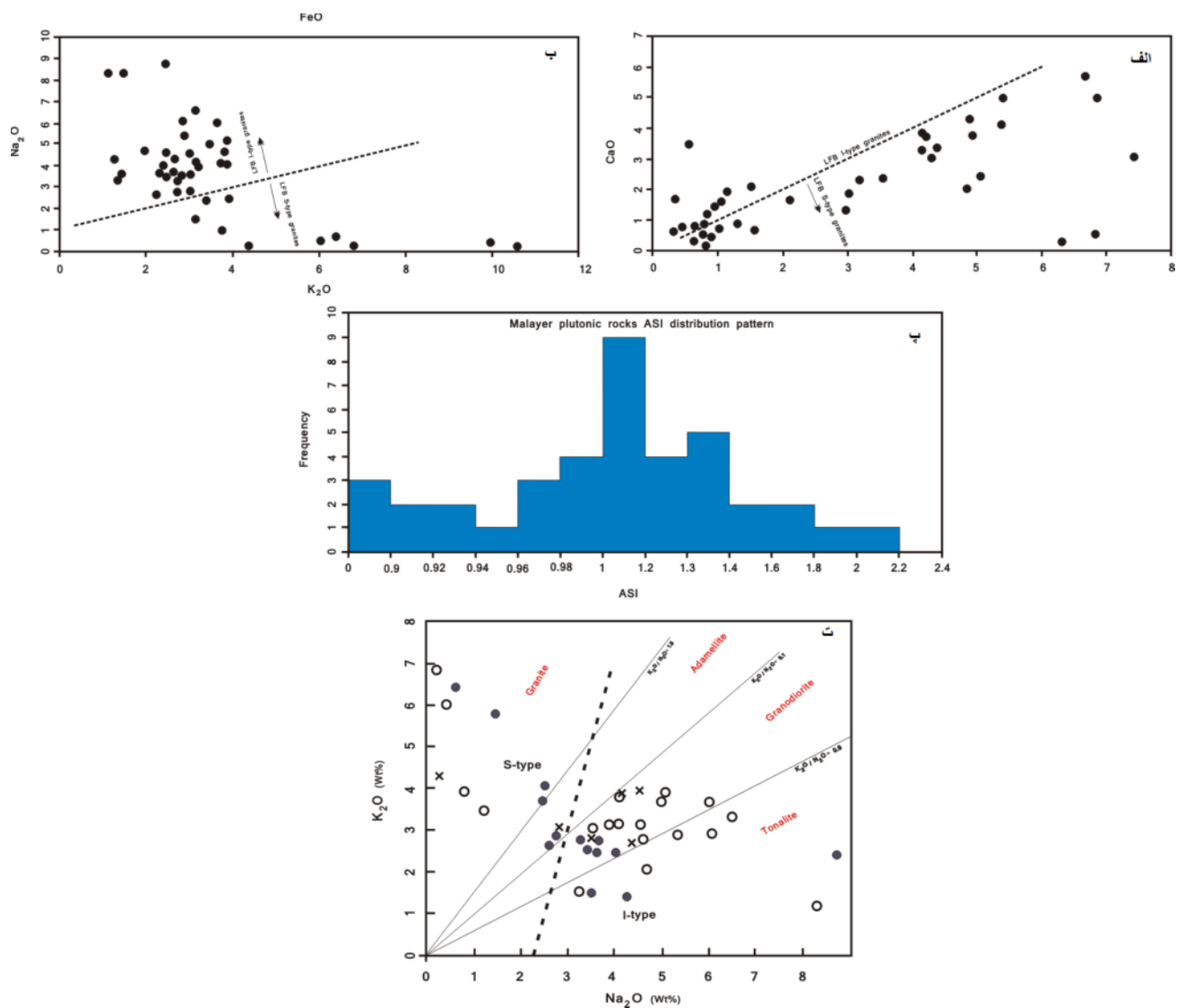


آمیختگی آنها با مذاب برآمده از ذوب‌بخشی سنگ‌های آذرین دگرگون شده آهکی قلیایی (مثل متاندزیت، متابازالت آندزیتی) در اعماق پوسته نسبت داده‌اند. بنابراین با توجه به ماهیت گرانیت‌های نوع آندی، حضور توده‌های بازیک می‌تواند بیانگر نقش مؤثر آنها در تشکیل و دگرگونی گرانیت‌ها باشد همچنین براساس سازوکار پیشنهادی روپرت و کلمنس [۴۵] افزون بر ماهیت آهکی قلیایی توده‌های گرانیتی در پهنه‌های فرورانش، امکان حضور بخش‌های دورگه مانند دایک‌ها و برونبوم‌های ماقمایی بازیک و حتی حضور توده‌هایی بزرگ از خاستگاه گوشته‌ای در گرانیت‌ها (برونبوم بزرگ) وجود خواهد داشت.

افزون بر این، اغلب منابع تشکیل برونبوم‌های ماقمایی بازیک به رخداد آمیختگی ماقمایی و حضور آنها به صورت گلbul‌ها یا بسته‌های ماقمایی بازیک در ماقمایی میزبان نسبت داده شده‌اند [۴۶]. این برونبوم‌ها با ترکیب متوسط دیوریتی از نظر کانی‌شناسی (وفور کانی هورنبلند سبز و بیوتیت) ویژه‌ای به رگه‌ها و دایک‌های بازیک دارند و نشانه‌ای از مشارکت یک قطب بازیک در تشکیل و دگرگونی گرانیت‌های منطقه هستند. تفاوت‌های کانی‌شناسی برونبوم‌ها و دایک‌های بازیک را می‌توان به تقابل مستقیم برونبوم با ماقمایی اسیدی و تبادلات گسترده بین آنها و به تزربیق رگه‌ها و دایک‌های بازیک در قالب زبانه‌هایی از ماقمای دورگه در شرایط متفاوت نسبت به



شکل ۴ ماهیت آهکی قلیایی گرانیت‌های ملایر در نمودار AFM و همخوانی آن با روند چند نوع از گرانیت‌های کمان کرانه قاره‌ای که به صورت نقطه چین در نشان داده شده‌اند و در جدول کناری به منابع آنها اشاره شده است. گرایش بالای نمونه‌ها به قطب قلیایی بیانگر مشارکت جزء پوسته‌ای در تشکیل آنهاست.



شکل ۵ الف و ب: جایگاه نمونه‌های منطقه مورد بررسی در نمودارهای $\text{Na}_2\text{O}-\text{K}_2\text{O}$ و $\text{CaO}-\text{FeO}$ در مقایسه با جایگاه گرانیت‌های نوع-S و I نوار لاخلان [۴۷] که بیانگر حضور ترکیبی هر دو نوع گرانیت در منطقه است (البته فراوانی نمونه‌های با نزدیکی به نوع I بالاتر است). پ) پراکندگی بسیار گسترده تغییرات درجه اشباع از آلومینیوم در نمودار فراوانی که با توجه به مشاهدات صحرایی و بررسی‌های زمین شیمیایی محتمل‌ترین و مهمترین عامل برای این وضعیت آلایش پوسته‌ای گسترده است. بنابراین تفکیک خاستگاه گرانیت‌های منطقه بر اساس این عامل منطقی نیست، اما اغلب نمونه‌هایی که ماهیت متاآلومینی دارند از نظر سایر ویژگی‌ها نیز شباهت خوبی به گرانیت‌های نوع-I نشان می‌دهند. ت) تغییرات ترکیب نمونه‌های اسیدی و تقسیم‌بندی به گرانیت‌های S و I [۴۸]. نسبت $\text{Na}_2\text{O}/\text{K}_2\text{O}$ روی خطوط مرزی واحدهای سنگی به ترتیب از پایین به بالا ۰/۱، ۰/۶ و ۱/۵ است.

و Al_2O_3 از نمونه‌های بازیک به اسیدی کاهش می‌یابد. مشاهده و بررسی روند تغییرات مقادیر عناصر اصلی در برونبومها نیز نشان دهنده روند نزولی تغییرات اکسیدهای MgO , $\text{FeO}_{(t)}$, CaO , TiO_2 با افزایش SiO_2 و مقادیر پراکنده برای اکسیدهای Na_2O و K_2O است (شکل ۶). مقادیر اکسیدهایی چون MnO , $\text{FeO}_{(t)}$, MgO و TiO_2 کنترل تبلور فازهای اولیه چون هورنبلند سبز و بیوتیت است که در واحدهای اسیدی از

بررسی روندهای زمین شیمیایی

با توجه به نتایج تجزیه‌های زمین شیمیایی ۵۰ نمونه از سنگ‌های منطقه و ۱۰ نمونه برونبوم، جدول‌های ۱ و ۲) برونبوم‌ها از نظر مقدار سیلیس (۴۸-۵۹٪) بین سنگ‌های بازیک (حدود ۴۸٪) و اسیدی-حد بواسطه (۷۸-۵۲٪) قرار دارند. بررسی نمودار هارکر عناصر اصلی و فرعی نشان داده است که با افزایش مقدار CaO , MnO , MgO , TiO_2 , $\text{FeO}_{(t)}$, SiO_2 , مقادیر اکسیدهای

اشباع شده است. افزون بر این، پیشنهاد شده است که رشد بلورهای آپاتیت سوزنی شکل می‌تواند نشانگر کانی‌شناسی خوبی بر پایه آمیختگی ماگمایی ناقص^۱ باشد [۵۴,۵۳]. هیبارد [۵۵] نیز عقیده دارد که این بلورها یک بافت آمیخته ماگمایی را نشان می‌دهند. بررسی مقادیر عناصر کمیاب (شکل های ۶ و ۷) نشان می‌دهد که عناصر $\text{Cr}, \text{CO}, \text{V}, \text{Ni}$ و Nb و Sc و Sr و Ba و Th و Rb و Fe^{+3} در برونبوم‌ها نیز می‌تواند در اثر جدایش روند تقریباً صعودی دارند و سایر عناصر روندی پراکنده نشان می‌دهند. روند خطی و کاهش پیشرونده مقادیر Cr, Ni و CO در ساختار کانی‌های بازیک به اسیدی و همگام با آن با افزایش SiO_2 از سنگ‌های بازیک به اسیدی و همگام با آن از برونبوم به میزان، نشانه‌ای برای ارتباط احتمالی بین این واحدها و خاستگاه بازیک تر برونبوم‌های ماگمایی نسبت به سنگ میزان گرانیتی است [۵۴]. عناصر V و Sc و Sr و روندی نزولی و Rb روند تقریباً صعودی نشان می‌دهند (شکل ۶) که می‌توان آنها را به جانشینی قسمت عده V به جای Fe^{+3} در ساختار کانی‌های فرومیزین، Sr به جای Ca در ساختار پلازیوکلاز و Rb به جای K در ساختار فلدسپار پتاسیم و بیوتیت نسبت داد [۵۷,۵۶]. افزون بر این، همبستگی پایین بین مقادیر K_2O و SiO_2 بیانگر نقش ناچیز فازهای پتاسیم‌دار در توزیع Sr و تمرکز احتمالی این عنصر در فازهای کلسیمی است. روند تقریباً افزایشی Ba نیز با تبلور کانی‌های پتاسیم‌دار در سنگ‌های اسیدی منطقه هماهنگ است. همچنین، همبستگی منفی مقادیر وانادیوم با SiO_2 را می‌توان به جدایش کانی‌های آهن تیتانیوم‌دار و کاهش نسبت حجمی آنها در نمونه‌های جدایش یافته‌تر نسبت داد. تغییرات بسیار در نسبت Ba/La :۱ (با La/Ba) بیانگر نقش سیال‌ها در شکل‌گیری این سنگ‌هاست و بنابراین خاستگاه آنها می‌باید گوشه‌سنگ کره‌ای یا پوسته زیرین باشد که هر دو به علت فعالیت سیال‌های آزاد شده طی فرآیندهای مربوط به فرورانش، ماهیتی ناهمگن می‌باشند. روند نزولی تغییرات وانادیوم در برونبوم‌ها همراه با افزایش Nb نسبت به تغییرات SiO_2 بیانگر روند عمومی جدایش ماگمایی در آنهاست [۵۸]. با وجود همبستگی بالای دیده شده بین مقادیر Ba و SiO_2 در سنگ میزان برونبوم‌ها، شبیه نزولی تغییرات آن با توجه به سازگاری Ba با K در ساختار فلدسپارهای قلیایی پتاسیمی و بیوتیت، غیرعادی است و

دیوریت‌ها تا گرانودیوریت و مونزوگرانیت‌ها دیده می‌شوند. این کانی‌ها بیشترین فراوانی را در واحد دیوریتی دارند که با افزایش SiO_2 از مقدار هورنبلند سبز کاسته و بر مقدار بیوتیت افزوده می‌شود. کاهش مقادیر TiO_2 ، $\text{FeO}_{(\text{t})}$ و MgO با افزایش SiO_2 (شکل ۷) در برونبوم‌ها نیز می‌تواند در اثر جدایش بیوتیت طی جدایش درونی ماگمای برونبوم و میزان همراه با فرآیندهای آمیختگی ماگمایی ایجاد شود [۴۹]. افزون بر این، کاهش نسبت حجمی کانی‌های روتیل، اسفن و ایلمنیت نیز در ایجاد روند نزولی دیده شده در برونبوم‌ها مؤثر است. Na_2O و K_2O در نمونه‌های اسیدی روندی تقریباً افزایشی نشان می‌دهند که بیانگر روند عمومی پیشرفت جدایش ماگمایی و انباست آنها در مذاب باقیمانده و شرکت در ترکیب فازهایی چون فلدسپارهاست. روند دیده شده از این دو اکسید از سنگ‌های بازیک به اسیدی منطقه پیوسته نیست، زیرا Na_2O و K_2O در برونبوم‌ها و سنگ‌های بازیک منطقه همبستگی ضعیفی با SiO_2 دارند و روند مشخصی نسبت به تغییرات SiO_2 در آنها دیده نمی‌شود. شباهت مقادیر این دو اکسید به شدت متحرک در برونبوم‌ها و سنگ میزان و پراکندگی‌های دیده شده را می‌توان به آلایش ماگمایی، یا دگرسانی‌ها و در کل تحرك بالای این عناصر نسبت داد [۵۰]. روند نزولی دیده شده برای اکسیدهای P_2O_5 و Al_2O_3 ، CaO و SiO_2 در سنگ‌های اسیدی منطقه بیانگر مشارکت آنها در ساختار پلازیوکلازها و آپاتیت است به طوری که با پیشرفت درجه جدایش پلازیوکلازها از آنورتیت در دیوریت‌ها به آندزین در نمونه‌های اسیدی تر تغییر کرده و مقدار آپاتیت در گرانودیوریت‌ها و مونزوگرانیت‌ها افزایش یافته است. این روند در سنگ‌های بازیک و برونبوم‌ها دیده نمی‌شود. تغییرات Al_2O_3 در برونبوم‌ها روندی با شبیه مثبت و همبستگی مناسبی با SiO_2 نشان می‌دهد که با روند صعودی درجه اشباع از آلومینیم برونبوم‌ها با افزایش SiO_2 و افزایش نسبت حجمی پلازیوکلاز در آنها همخوانی دارد. گفتنی است که Al_2O_3 به عنوان اکسیدی ناسازگار و کم تحرک الگوی تغییرات یکسان و مقادیر مشابهی بین برونبوم و سنگ میزان نشان نمی‌دهد (شکل ۷). مقدار P_2O_5 موجود در برونبوم‌ها با میانوارهای آپاتیت سوزنی فراوان دیده شده در بیوتیتها و فلدسپارهای آن قابل توجیه است. به باور برخی [۵۲,۵۱] فراوانی سوزن‌های آپاتیت نشانه تبلور سریع سنگ از مذابی است که به طور موضعی از P_2O_5

سنگ‌های اسیدی منطقه و برونبومها و سنگ‌های بازیک وجود دارد. افزون بر این، مقایسه الگوی مقادیر بهنجار شده عناصر کمیاب برونبومها و سنگ میزان بیانگر نوعی همگن‌شدگی در مقیاس این عناصر بین برونبوم و سنگ میزان در حالت مذاب، نیمه مذاب و حتی جامد است (شکل ۸).

می‌توان آنرا به برقراری تعادل شیمیایی با برونبوم در حالت مذاب یا نیمه مذاب و روند نامشخص تغییرات Ba در برونبومها را به حجم‌های متفاوت تبادل یافته از این عنصر بین برونبومها و میزانها مربوط دانست. بدین ترتیب، چنان که در مقیاس عناصر کمیاب دیده می‌شود نوعی گستنگی بین روندهای

جدول ۱ نتایج تجزیه شیمیایی (ICP) نمونه‌های گرانیتی منطقه ملایر [۱۵]

شماره نمونه	SiO ₂	TiO ₂	Al ₂ O ₃	FeO _t	MnO	MgO	CaO	Na ₂ O	K ₂ O	P ₂ O ₅	LOI	Ba	Rb	Sr	Th	Zr	Ni	Sc	V	Pb	Cr
S31	۶۳.۰۹	۰.۸۱	۱۹.۱	۶.۳۲۶	۰.۱۴	۲.۱۶	۰.۳۱	۴.۲۹	۱.۲۷	۰.۱۶۵	۱.۳۷	۳۵۹	۲۲۴	۸۷	۱۳	۳۲۰	۵۵	۱۵	۱۶۶	۲۰	۱۳۴
S106	۶۳.۷۶	۰.۶	۱۵.۴	۴.۸۷۷	۱.۰	۲.۸۵	۴.۳۲	۳.۶۶	۲.۶۴	۰.۱۴۲	۰.۸۶	۵۳۷	۱۶۱	۲۹۴	۱۴	۱۲۹	۳۰	۱۸	۱۰۶	۱۱	۷۱
S110	۶۱.۸	۰.۶۵	۱۵.۹	۵.۴۰۸	۱۱.۰	۳.۳	۴.۹۷	۳.۲۸	۲.۷۲	۰.۱۵۷	۰.۷۳	۵۲۲	۱۶۶	۳۱۴	۱۴	۱۲۰	۳۷	۲۱	۱۲۶	۱۱	۸۸
S117	۵۸.۲۳	۰.۷۲	۱۵.۱	۶.۶۶۸	۱۳.۰	۵.۸۷	۵.۷۲	۲.۶۳	۲.۲۲	۰.۱۳۸	۱.۴۸	۵۲۷	۱۴۴	۲۷۸	۱۱	۱۵۱	۱۰۰	۲۷	۱۷۷	۲۲	۲۱۷
S133	۶۰.۳۹	۰.۸۷	۱۴.۷	۵.۳۹	۱.۰	۵.۴۹	۴.۱۲	۳.۹۶	۲.۴۱	۰.۲۰۲	۱.۱۳	۵۵۶	۲۲۱	۲۰۱	۲۱	۱۶۸	۱۴۵	۲۱	۱۲۷	۱۸	۲۸۵
S154	۹۲.۹۴	۰.۸۵	۱۸.۸	۶.۸۲	۱۷.۰	۲.۱۱	۰.۵۴	۳.۶۱	۱.۴۲	۰.۲۰۹	۱.۶۴	۴۵۹	۱۵۷	۱۰۶	۱۲	۱۳۴	۵۹	۱۵	۱۶۳	۳۱	۱۰۸
S163	۵۹.۱۴	۰.۹۲	۱۸	۶.۸۰۶	۱۳.۰	۲.۲	۴.۹۸	۲.۷۶	۲.۷	۰.۲۶۴	۰.۶۷	۷۵۷	۱۲۳	۲۸۹	۴	۱۷۴	۲۰	۲۲	۱۳۰	۵	۴۵
S68	۶۵.۴۲	۰.۳۷	۱۵.۸	۳.۵۵۴	۰.۷۰	۲	۲.۳۷	۲.۴۴	۳.۹۱	۰.۲۰۳	۳.۲۳	۴۰۱	۱۲۲	۲۱۵	۱۵	۱۱۱	۷	۸	۸۷	۱۳	۲۲
S80	۶۹.۲۴	۰.۳۷	۱۵.۴	۳.۱۸۵	۰.۶۰	۱.۲	۲.۳۲	۲.۳۶	۳.۴	۰.۱۶۴	۱.۶۶	۴۳۳	۱۱۹	۳۱۷	۱۰	۹۱	۱۳	۸	۵۳	۱۹	۵۷
S164	۶۴.۶۸	۰.۶۹	۱۶.۹	۵.۰۵۷	۱۱.۰	۱.۷۵	۲.۴۴	۳.۶۴	۲.۳	۰.۱۶۱	۱.۶۳	۴۸۶	۱۸۴	۱۶۰	۲۰	۲۷۱	۳۵	۱۴	۱۱۷	۲۴	۷۱
S187	۶۸.۷۹	۰.۵۱	۱۷.۸	۰.۵۵۸	۰.۰۲	۰.۳۴	۳.۴۶	۰.۶۸۳	۶.۴۱	۰.۱۳۶	۰.۷۷	۷۰	۲۸	۵۵۹	۲۶	۲۸۴	۴	۸	۲۵	۱۳	۲۲
S156	۶۶.۴۱	۰.۰۹	۱۷.۹	۱.۳۰۵	۰.۰۳	۰.۴۳	۰.۱۹	۸.۷۱	۲.۴۴	۰.۷۳۵	۰.۸۲	۳۹۲	۲۰.۶	۱۰۴	۵	۷۸	۳	۴	۸	۸۶	۱۸
S150	۶۰.۰۴	۱.۳	۱۷.۲	۷.۴۱۴	۰.۱۲	۲.۲۶	۳.۰۸	۳.۴۵	۲.۴۷	۰.۱۲۲	۱.۲۸	۳۳۸	۱۹۹	۲۱۶	۶۷	۱۱۲	۳۱	۲۵	۷۹	۲۰	۵۸
S44	۶۴.۷۷	۰.۵۴	۱۶.۶	۴.۳۰۱	۰.۰۷	۱.۳۶	۳.۰۴	۳.۹۴	۳.۲۱	۰.۱۶	۰.۹۱	۹۳۵	۱۸۰	۲۸۵	۲۲	۳۴۱	۱۵	۱۱	۶۱	۱۲	۶۲
S54	۶۶.۲۸	۰.۵۹	۱۵.۳	۴.۱۷۵	۰.۰۸	۲.۴۴	۳.۸۲	۰.۹۰۳	۳.۷۷	۰.۱۳۱	۱.۹۷	۴۰۶	۴۰	۵۶۸	۲۰	۱۸۴	۲۵	۱۵	۱۰۰	۲۳	۶۸
S134	۷۴.۷۷	۰.۰۲	۱۵.۱	۰.۸۸۲	۰.۰۷	۰.۱۱	۰.۵	۴.۲	۲.۱۶	۰.۳۵	۰.۴۸	۶۰	۱۴۷	۳۰	۳	۹۰	۲	۰	۲۵	۳۰	۳۰
S157	۶۵.۲۲	۰.۵۴	۱۶.۶	۴.۳۹۱	۰.۰۸	۱.۵۹	۳.۳۷	۳.۵۹	۳.۰۴	۰.۱۶۲	۰.۷۴	۵۹۴	۱۲۹	۲۷۴	۱۸	۲۸۳	۱۷	۱۱	۷۸	۱۶	۵۹
S188	۷۰.۷۱	۰.۳۴	۱۴.۵	۲.۹۶۹	۰.۰۵	۰.۷۶	۱.۳۶	۴.۵۳	۳.۰۲	۰.۰۷۹	۱.۰۹	۱۰.۷۰	۱۲۲	۳۱۴	۳۰	۲۴۰	۶	۱۰	۳۰	۱۵	۵۸
S189	۷۵.۴۲	۰.۱	۱۳	۱.۱۵۲	۰.۰۲	۰.۳۸	۱.۸۸	۴.۶۷	۱.۹۸	۰.۰۲۶	۱.۰۲	۱۶۰	۱۰.۳	۲۹۲	۴۴	۱۹۲	۵	۲	۱۰	۲۸	۷۳
S40	۷۳.۸۷	۰.۱۳	۱۴.۵	۰.۹۹۹	۰.۰۲	۰.۲۹	۰.۷۱	۴.۹۶	۳.۴۸	۰.۲۸۵	۰.۷۴	۱۶۴	۲۴۶	۶۲	۶	۱۴۵	۴	۲	۶	۴۴	۱۳
S90	۷۳.۳۵	۰.۰۴	۱۴.۹	۰.۸۰۱	۰.۰۲	۰.۱۶	۰.۱۶	۸.۲۹	۱.۱۲	۰.۱۴۴	۰.۶۸	۱۲۴	۴۰.۷	۶۰	۲	۱۲۵	۳	۴	۲	۴۷	۳۰
S91	۷۴.۱۲	۰.۰۷	۱۴.۶	۰.۳۱۵	۰	۰.۱۶	۰.۶۲	۵.۱	۳.۸۸	۰.۳۱۸	۰.۶۵	۵۸	۲۲۲	۲۸	۳	۱۰۰	۰	۲	۲	۲۳	۸
S112	۷۶.۴۲	۰.۰۲	۱۳.۷	۰.۷۶۵	۰.۰۷	۰.۱۵	۰.۷۵	۴.۰۹	۳.۷۵	۰.۱۰۶	۰.۰۵	۲۱	۱۹۳	۱۹	۴	۱۸۷	۰	۰	۰	۳۷	۱۳
S125	۷۱.۶۱	۰.۲	۱۴.۶	۲.۱۱۵	۰.۰۶	۰.۴۶	۱.۶۹	۵.۳۹	۲.۹	۰.۰۸۶	۰.۳۹	۶۱۸	۲۲۲	۱۶۸	۲۹	۱۶۴	۵	۶	۲۰	۲۲	۳۷
S149	۷۶.۳۶	۰.۱۷	۱۳.۲	۱.۵۳	۰.۰۳	۰.۴۵	۲.۰۵	۱.۴۹	۳.۱۴	۰.۰۸۸	۱.۰۳	۳۰.۸	۶۵	۳۲۲	۴۶	۱۲۱	۱۲	۵	۱۸	۳۴	۳۰
S152	۷۷.۳۲	۰.۰۵	۱۴.۹	۰.۶۳	۰.۰۲	۰.۱۵	۰.۳۳	۳.۳۲	۱.۲۷	۰.۰۷	۱.۷۴	۸۰	۸۸	۴۴	۴	۱۰۲	۲	۴	۲۸	۲۲	۳۳
S174	۷۷.۴۲	۰.۰۹	۱۴.۴	۰.۸۴۶	۰.۰۲	۰.۲۵	۱.۱۵	۶.۵۳	۳.۱۴	۰.۲۷۴	۰.۵۴	۳۳۵	۱۵۳	۱۲۹	۳	۱۱۱	۱۷	۲	۸	۲۳	۴۶
S175	۷۷.۳۵	۰.۰۷	۱۲.۴	۰.۹۹	۰.۰۲	۰.۱۶	۱.۴۷	۴.۴۵۸	۲.۴۷	۰.۰۱۶	۰.۳۷	۳۹۹	۱۳۸	۱۵۵	۱۷	۲۱۴	۵	۳	۷	۲۰	۴۸
S61	۷۳.۸۸	۰.۰۵	۱۴.۱	۰.۴۳۲	۰	۰.۱۷	۰.۷۳	۶	۳.۶۶	۰.۴۵۰	۰.۲۹	۸۳	۲۶۸	۶۶	۲	۱۲۸	۳	۲	۴	۲۴	۳۱
S73	۷۱.۴۳	۰.۲۹	۱۵.۱	۱.۰۴۸	۰.۰۱	۲.۴۲	۰.۶۸	۰.۴۹۶	۹.۴	۰.۰۹۲	۱.۰۵۸	۷۹	۱۲	۸۵	۲۰	۱۲۴	۷	۹	۳۴	۳	۲۰
S93	۷۵.۶۶	۰.۰۷	۱۳.۱	۰.۶۵۷	۰.۰۱	۰.۲۲	۰.۷۳	۶.۰۸	۲.۸۵	۰.۰۹۴	۰.۴۵	۵۶۹	۱۶۶	۲۲۷	۳۳	۱۰.۸	۳	۱	۷	۱۴	۲۵
S116	۷۶.۹	۰.۰۶	۱۳.۴	۰.۸۰۱	۰.۰۱	۰.۴۶	۰.۵۲	۰.۱۹۲	۶.۸	۰.۰۱۸	۰.۴۹	۳۶	۸	۱۲۵	۲۴	۸۱	۲	۳	۲	۱۶	۱۶
S56	۶۳.۷۲	۰.۶	۱۵.۹	۴.۸۳۲	۰.۰۷	۰.۵۱	۲.۰۱	۰.۲۴۲	۴.۲۷	۰.۱۴۳	۲.۶۶	۷۰	۹	۲۴۷	۱۶	۱۵۰	۲۴	۱۷	۱۰۰	۳	۸۳
S183	۶۳.۵۳	۰.۶	۱۵.۵	۴.۹۲۲	۰.۰۹	۲.۹۵	۳.۷۷	۳.۴۹	۲.۸	۰.۱۳۹	۱.۳۸	۵۴۱	۱۵۳	۳۰.۱	۱۷	۲۸۰	۳۵	۱۷	۱۱۵	۱۲	۱۲۶
S186	۶۲.۷۳	۰.۴۶	۱۷.۵	۴.۱۳۹	۰.۰۶	۰.۹۲	۳.۳۱	۴.۰۸	۳.۸۸	۰.۱۰۷	۱.۹۲	۱۴۰	۱۳۴	۳۸۰	۱۷	۲۹۷	۷	۱۱	۳۸	۱۰	۴۷
S38	۶۷.۸۳	۰.۳	۱۴.۹	۳.۰۱۴	۰.۰۶	۰.۹۷	۱.۸۵	۴.۶۱	۳.۸۲	۰.۱۲۹	۲.۱۷	۶۳۹	۲۲۹	۱۸۲	۳۰	۱۱۰	۱۱	۸	۴۰	۵	۴۲
S126	۶۴.۶۲	۰.۵۷	۱۵.۵	۴.۲۰۲	۰.۰۹	۲.۴	۳.۷۵	۲.۸۱	۳.۰۳	۰.۱۳	۲.۲۴	۴۵۸	۱۳۱	۲۸۳	۲۳	۱۲۷	۲۵	۱۵	۱۰۵	۸	۶۶
S127	۶۳.۸۶	۱.۱۶	۱۹.۹	۰.۳۴۲	۰	۰.۹۲	۱.۶۹	۰.۴۰۷	۱.۰	۰.۰۵۱۴	۱.۰۹	۴۹	۱۱	۸۶	۲۸	۱۴۱	۴	۳	۴۱	۸	۲۲
S161	۶۵.۲۹	۰.۱۷	۱۹.۷	۰.۳۴۲	۰.۰۱	۱.۰۱	۰.۸۲	۰.۱۳۴	۱.۰۶	۰.۰۷۱	۰.۸۲	۱۳	۱۰	۳۶	۸	۱۴۱	۵	۲	۸	۱	۶
S191	۶۴.۷۱	۰.۱۲	۲۱.۹	۱.۰۴۴	۰.۰۵	۰.۳۴	۱.۶	۴.۳۳	۲.۸۷	۰.۰۷۹	۲.۳۸	۶۱۹	۱۰.۶	۲۲۳	۴	۱۸۱	۵	۳	۱۴	۸۱	۴۲

ادامه جدول ۱

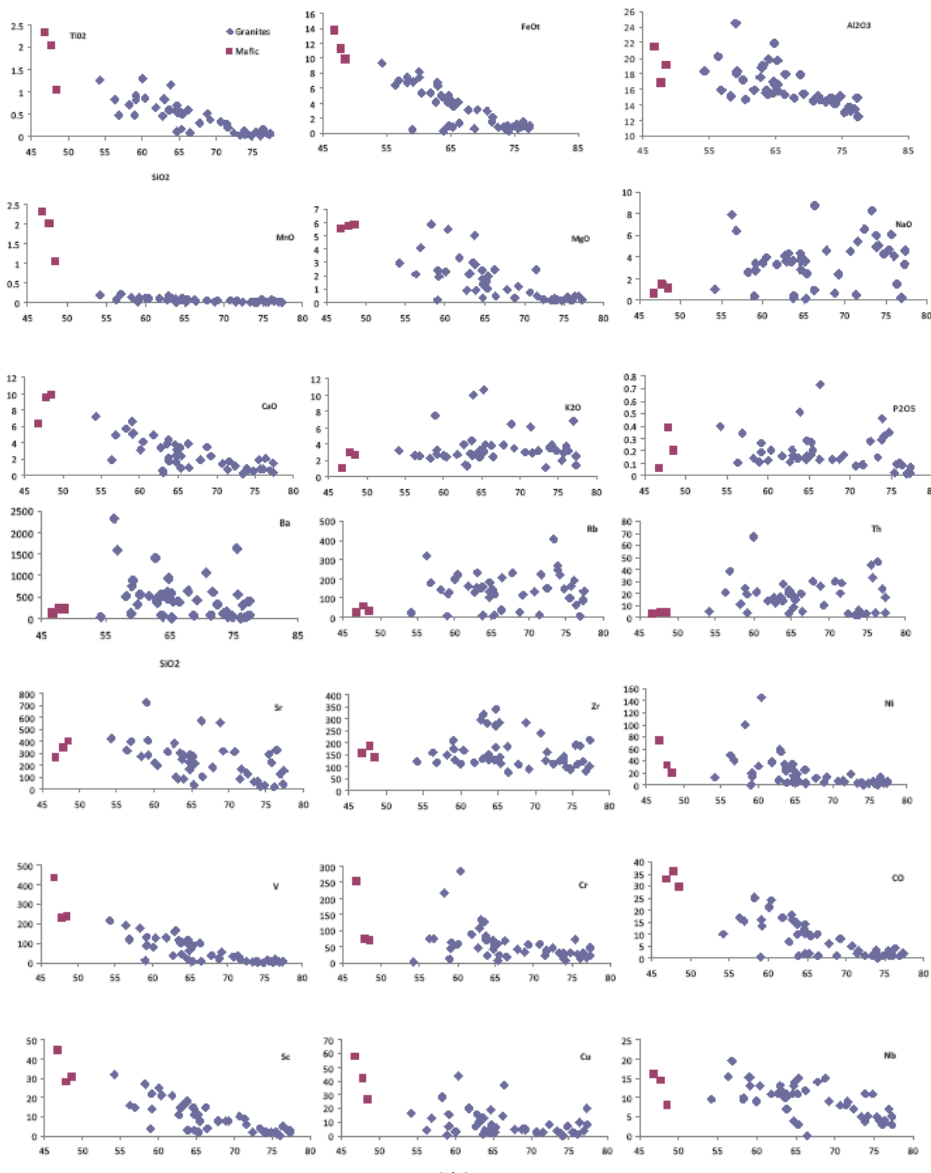
شماره نمونه	Co	Cu	Mo	Zn	Sn	Hf	W	La	Ce	Nd	Sm	Eu	Gd	Tb	Dy	Ho	Er	Tm	Yb	Lu	Y	Nb
S31	۱۶	۱۰	-	۱۲۵	۴	۶	۷	۳۴	۷۶	۲۲	۴	۱	۵	۱	۳	۱	۲	-	۱	-	۸	۱۲
S106	۱۴	۱۳	-	۵۸	۱	۵	-	۳۵	۷۱	۲۴	۴	۱	۵	۱	۶	۱	۳	-	۳	-	۲۸	۱۰
S110	۱۷	۲۰	۱	۵۷	۱	۸	-	۳۱	۶۵	۲۳	۳	۱	۵	۱	۶	۱	۳	-	۳	-	۲۹	۱۱
S117	۲۵	۲۸	-	۸۷	۲	۷	۱	۳۲	۶۵	۱۹	۳	۱	۵	۱	۶	۱	۳	-	۳	-	۲۷	۱۰
S133	۲۴	۴۴	-	۶۹	۳	۷	۲	۵۳	۱۰۵	۱۸	۳	۲	۵	۱	۶	۱	۳	-	۳	-	۳۴	۱۳
S154	۱۸	۱۶	۱	۱۲۲	۳	۶	۱	۳۷	۷۴	۲۸	۳	۱	۵	۱	۴	۱	۲	۱	۱	۱	۱۰	۱۳
S163	۱۶	۷	-	۹۵	۲	۵	-	۱۷	۳۴	۲۳	۴	۱	۶	۱	۳	۱	۳	۱	۱	۱	۱۶	۱۳
S68	۹	۲۵۶	۱	۵۷	۱	۶	۱۷	۳۷	۶۷	۳۱	۶	۱	۵	۱	۳	۱	۱	-	۱	-	۱۴	۱۵
S80	۸	۵	۱	۳۲	۵	۴	۴	۲۸	۵۴	۲۶	۸	۱	۵	۱	۵	۱	۴	۱	۲	۱	۲۰	۹
S164	۱۴	۱۹	۱	۶۵	۱	۵	-	۴۴	۸۵	۲۴	۶	۱	۵	۱	۴	-	۲	۱	۱	۱	۱۲	۱۳
S187	۱	۵	۱	۲۷	۱۱	۷	۱	۳۸	۶۹	۲۶	۶	۱	۵	۱	۷	۱	۲	-	۳	-	۳۱	۱۵
S156	۱	۲۷	۱	۹	۱	۴	-	۰	۳۸	۱۸	۴	-	۴	۱	۴	۱	۲	-	۱	-	۱۰	-
S150	۲۱	۳	-	۱۱۵	۱	۷	-	۱۱۱	۲۲۱	۲۷	۶	۲	۵	-	۷	۱	۵	-	۳	-	۳۱	۹
S44	۱۰	۸	۱	۶۴	۱	۷	۳	۴۹	۹۹	۲۹	۷	۲	۵	۱	۴	۱	۳	-	۲	-	۲۰	۱۴
S54	۱۰	۱۵	-	۴۸	۱	۵	۱	۳۸	۸۵	۳۵	۸	۱	۵	۱	۷	۱	۳	-	۳	-	۳۲	۱۲
S134	۱	۷	۱	۲۳	۷	۴	۶	-	۳۶	۲۳	۴	۲	۵	۱	۳	۱	۷	-	۱	-	۶	۱۱
S157	۱۰	۶	۱	۴۸	۱	۴	۲	۴۴	۸۵	۲۹	۷	۲	۵	۱	۶	۱	۲	-	۳	-	۲۵	۱۱
S188	۵	۳	۱	۴۴	۱	۳	-	۱۰۸	۱۸۱	۲۵	۵	۲	۵	۱	۵	۱	۳	-	۳	-	۲۴	۸
S189	۳	۲	۲	۴۶	۱	۴	۱	۷۸	۱۶۱	۲۱	۶	۲	۴	۱	۳	۱	۳	-	۲	-	۶	۵
S40	۲	۲	-	۲۳	۲	۴	۱	۱۱	۳۴	۲۵	۶	۱	۴	۱	۴	-	۲	-	۱	-	۱۲	۱۱
S90	۱	۴	۱	۸	۷	۳	۹	-	۳۵	۲۵	۷	۲	۵	۱	۳	۱	۵	-	۱	-	۵	۵
S91	-	-	-	۷	۲	۴	۲	-	۲۴۵	۲۶	۹	۱	۴	۱	۳	۱	۶	۱	۱	۱	۶	۵
S112	۱	۱	-	۲۰	۸	۶	۱	-	۳۹	۲۱	۷	۲	۵	۱	۴	-	۲	۱	۱	۱	۸	۳
S125	۳	۳	۱	۲۹	۲	۲	۲	۷۳	۱۳۱	۲۵	۶	۲	۴	۱	۶	۱	۳	۱	۱	۱	۲۸	۹
S149	۴	۱۰	۱	۳۱	۲	۳	۱	۶۰	۱۱۰	۲۵	۶	۱	۴	۱	۳	۱	۳	۱	۱	۱	۱۵	۴
S152	۲	۲۰	۱	۳	۴	۵	۱۰	-	۳۷	۲۹	۸	۱	۴	۱	۳	۱	۴	۱	۳	۱	۶	۳
S174	۱	۸	۲	۱۷	۱	۴	-	-	۳۲	۲۱	۶	۱	۵	۱	۴	-	۴	-	۱	-	۱۰	۷
S175	۲	۸	۲	۱۷	۱	۳	۱	۱۸	۳۲	۲۶	۷	۱	۵	۱	۳	-	۲	-	۱	-	۱۴	۵
S61	۳	۲	۱	۹	-	۵	۴	-	۳۹	۲۹	۴	۱	۴	۱	۴	-	۲	-	۱	-	۱۱	۴
S73	۲	۲	-	۹	۲	۳	۱	۴۷	۹۱	۲۵	۶	۱	۴	۱	۴	-	۱	-	۱	-	۱۸	۸
S93	۱	۲	۱	۸	-	۵	۲	۲۵	۴۲	۲۸	۹	۱	۵	۱	۳	-	۲	-	۱	-	۹	۴
S116	۱	۴	-	۲	۱	۳	-	۴۰	۷۶	۳۲	۱۰	۱	۴	۱	۴	۱	۲	۱	۱	۱	۱۸	۷
S56	۱۰	۱	۱	۴۵	۲	۷	۲	۳۷	۸۰	۲۶	۵	۱	۵	۱	۵	۱	۳	-	۳	-	۲۸	۱۱
S183	۱۵	۱۳	۲	۵۸	۱	۹	۱	۳۳	۶۵	۲۴	۴	۱	۴	۱	۶	۱	۳	۱	۲	۱	۲۶	۱۰
S186	۷	۷	۱	۴۳	۱	۶	-	۷۱	۱۲۹	۲۶	۶	۱	۶	۱	۴	۱	۳	-	۲	-	۲۰	۱۱
S38	۶	۵	۱	۳۵	۱	۵	۳	۵۴	۹۸	۲۷	۷	۲	۴	۱	۶	۱	۲	-	۳	-	۲۶	۱۴
S126	۱۲	۵	-	۵۲	۲	۷	۱	۶۷	۱۲۶	۲۸	۸	۱	۵	۱	۵	۱	۲	-	۳	-	۳۰	۱۱
S127	۱	۴	-	۳	۱	۸	۱۹	۱۹	۳۹	۲۶	۷	۱	۵	۱	۳	۱	۲	۱	۱	-	۶	۷
S161	۲	۳	-	۲۳	-	۶	-	-	۳۰	۲۹	۷	-	۴	۱	۴	۱	۲	-	۱	-	۶	۳
S191	۲	۲	-	۱۷	۴	۶	۳	۱۱	۳۲	۲۶	۷	۱	۵	۱	۳	۱	۲	-	۱	-	۶	۴

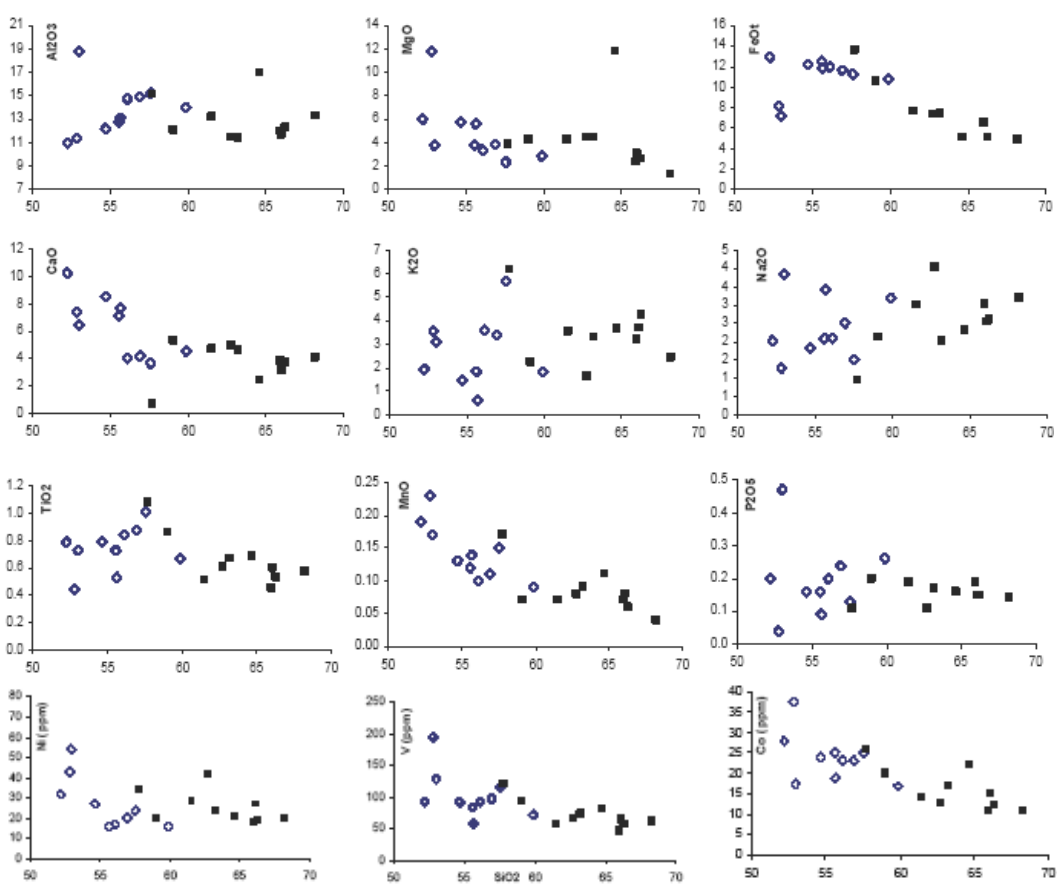
جدول ۲ نتایج تجزیه شیمیایی ICP نمونه‌های حدوداً و بازیک [۱۵] و تجزیه XRF برونوهمهای بازیک منطقه ملایر [۳۲]

سنگ	SiO ₂	TiO ₂	Al ₂ O ₃	FeOt	MnO	MgO	CaO	Na ₂ O	K ₂ O	P ₂ O ₅	Ba	Rb	Sr	Th	Zr	Ni	Sc	V	Pb	Cr	Co	
	m76	۵۹	-۰.۴۷	۲۴.۴	-۰.۰۲	-۰.۰۱	-۰.۱۵	۶.۶	-۰.۳۶	۷.۴۲	-۰.۱۱	۱۱۸	۷	۷۲۳	۲۴	۲۰.۹	-	۴	۱۱	۸.۵	۱۱	۱
	m77	۵۹	-۰.۸۱	۱۸.۳	۶.۸۳	-۰.۰۹	-۰.۹۵	۵.۲	-۰.۳۸	۳.۲۵	-۰.۱۹	۹۰۰	۱۲۹	۴۰.۱	۱۹	۱۲۷	۱۴	۱۴	۹.۰	۸.۲	۶۳	۱۴
	m87	۵۶	-۰.۸۴	۲۰.۱	۶.۴۲	-۰.۰۸	-۰.۲۱	۱.۸	-۰.۹۱	۷.۹۱	-۰.۲۳	۰.۱۱	۲۲۰	۳۲۰	۲۲۲	۲۰	۱۵۱	۴۹	۱۶	۱۹۱	۲۶.۵	۱۷
	m101	۵۷	-۰.۴۷	۱۵.۹	۷.۰۳	-۰.۲۱	-۰.۴۰	۴.۹	-۰.۴۸	۲.۴۹	-۰.۴۴	۱۵۹	۱۷۹	۴۰.۰	۳۹	۱۱۸	۴۰	۱۵	۱۲۱	۱۴.۱	۷۵	۱۵
	m117	۵۸	-۰.۷۲	۱۵.۱	۷.۸۱	-۰.۱۳	-۰.۵۸۷	۵.۷	-۰.۶۳	۲.۲۳	-۰.۱۴	۵۲۷	۱۴۴	۲۷۸	۱۱	۱۵۱	۱۰۰	۲۷	۱۷۷	۲۱.۱	##	۲۵
	m150	۶.	۱.۳	۱۷.۲	۸.۷۴	-۰.۱۲	-۰.۲۶	۲.۱	-۰.۴۵	۲.۴۷	-۰.۱۲	۲۳۸	۱۹۹	۲۱۶	۶۷	۱۱۲	۲۱	۲۵	۷۹	۱۹.۹	۵۸	۲۱
	m193	۵۴	۱.۲۶	۱۸.۳	۹.۳۱	-۰.۰۲	-۰.۲۹	۷.۲	-۰.۱۰	۲.۱۹	-۰.۴	۴۲۵	۲۲	۴۲۸	۴.۸	۱۲۱	۱۳	۲۲	۲۱۴	۲۹.۵	۱	۱۰
	m155	۴۸	۲.۰۲	۱۶.۷	۱۱.۲	-۰.۱۸	-۰.۶۹	۹.۵	-۰.۴۱	۲.۸۶	-۰.۳۹	۲.۰۴	۶۰	۳۴۴	۳.۸	۱۸۴	۲۲	۲۳۰	-	۷۴	۲۶	۳۶
	m159	۴۹	۱.۰۴	۱۹.۱	۹.۸۷	-۰.۱۷	-۰.۵۸	۹.۱	-۰.۶	۲.۵۷	-۰.۲	۲۳۳	۳۰	۳۹۹	۳.۷	۱۳۸	۲۰	۳۱	۲۳۹	۳.۸	۶۷	۳۰
	m192	۴۷	۲.۳۳	۲۱.۴	۱۳.۷	-۰.۲۶	-۰.۵۲	۶.۲	-۰.۶۶	۱.۰۶	-۰.۰۶	۱۱۶	۲۷	۲۷۱	۲.۹	۱۵۷	۷۷	۴۵	۴۳۶	۳.۹	##	۳۳
	Cu	Mo	Zn	Sn	Hf	W	La	Ce	Nd	Sm	Eu	Gd	Tb	Dy	Ho	Er	Tm	Yb	Lu	Y	Nb	
	m76	-۰.۶	-	۱۳.۷	۹.۴	۷	-	۹۳	۱۷۵	۳۴.۱	۹.۸	۱.۴	۶.۴	۰.۵</								

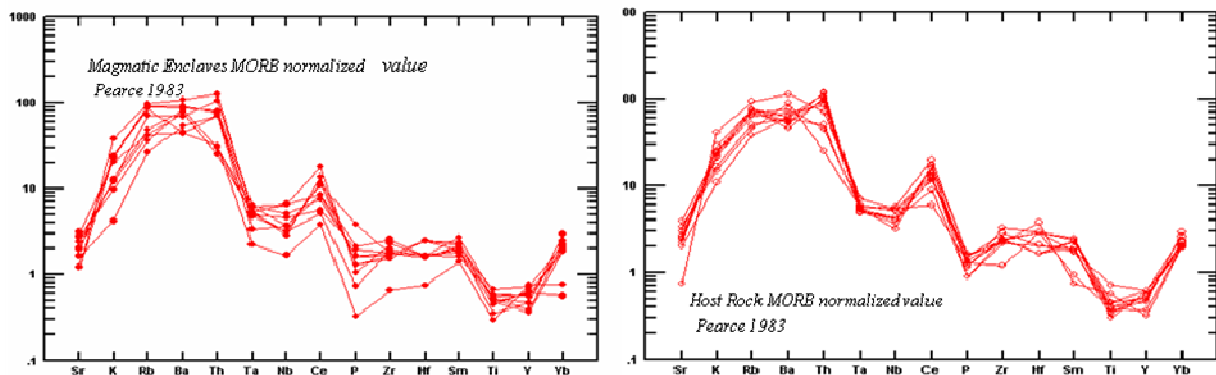
ادامه جدول ۲

نمونه	SiO ₂	Al ₂ O ₃	FeO*	MgO	CaO	Na ₂ O	K ₂ O	TiO ₂	MnO	P ₂ O ₅	Rb	Sr	Ni	Y	Cr	Zr	Nb	Ba	Th
EN-46	53	18.8	7.22	3.77	6.42	3.80	2.8	0.77	0.17	0.5	11.8	4.6	19	13	2.0	21.8	17	19.9	14.1
EN-40	57.2	15.2	11.22	2.22	3.69	1.49	5.7	1.01	0.1	1.1	1.47	2.4	22	111	2.9	23	21.41	25	
EN-59	57.1	14.7	11.92	2.36	4.2	2.9	3.58	0.84	0.1	0.2	1.4	2.37	17	1.8	4.7	16.4	18	17.22	16
EN-15	59.9	14	10.41	2.87	4.52	3.19	1.85	0.67	0.09	0.3	1.22	2.92	16	2.0	1.0	22.2	23	17.87	21
EN-5	52.2	10.9	12.68	5.94	1.24	2.01	1.93	0.79	0.19	0.2	9.6	2.48	22	14	1.7	14.9	13	16.46	6
EN-42	52.9	14.9	11.04	3.86	4.19	2.51	3.4	0.88	0.11	0.2	1.17	2.27	20	17	4.8	16.2	16	17.11	15
EN33-b	57.7	12.2	12.14	5.78	8.51	1.81	1.45	0.88	0.13	0.2	7.7	2.35	27	12	1.01	14.9	11	16.32	6
EN33a	55.6	12.8	12.05	3.77	7.12	2.1	1.82	0.73	0.12	0.2	8.4	2.22	16	11	9.2	13.9	10	15.79	5
EN-22	57.8	11.4	8.11	11.8	7.41	1.72	3.55	0.44	0.23	0	1.71	1.5	2.63	23	1.06	5.9	6	18.85	6.24
En-1	55.7	13	11.88	5.58	7.64	3.41	0.83	0.53	0.14	0.2	5.3	1.97	23	14	4.22	17.8	11	16.68	14
La	Ce	Nd	Sm	Tb	Yb	Hf	Ta	Eu	V	Pb	Cu	Co	Zn	Cs	Ga	Mo	Sn	Sc	
EN-46	93.4	11.	3.0	7.18	0.74	6.81	3.8	0.6	1.24	1.29	11	4.3	18	9.3	2.67	5.99	2	1	3
EN-40	74.2	18.1	4.4	6.8	3.44	7.5	4	1	1.17	4.3	9	2.5	1.7	4.75	21	3	6	2	
EN-59	77.4	7.7	2.7	5.32	3.1	6.49	4	1.1	2	9.2	2.5	1.0	2.3	7.8	19.54	22	4	6	2
EN-15	78.4	8.42	2.1	5.88	2.22	6.77	4	1.1	2	7.2	3.6	6	1.7	7.1	14.0	22	3	6	2
EN-5	75.3	8.48	2.2	7.7	3.93	8.5	6	1.1	4	9.2	3.0	2.2	2.8	8.4	27.76	22	4	6	2
EN-42	75.0	8.65	2.4	8.88	3.25	6.93	4	0.9	2	9.8	2.8	1.2	2.2	7.6	23	4	6	2	
EN33-b	72.2	11.7	2.7	9.27	3.44	7.87	6	0.9	2	9.2	2.2	2.2	2.4	7.7	16.47	21	4	6	2
EN33a	71.5	13.7	1.7	7.7	3.55	6.39	6	1	2	8.7	2.0	2.2	2.5	8.0	20.82	21	4	6	2
EN-22	78.6	7.83	2.0	4.87	0.77	2.62	1.8	0.4	0.09	1.95	1.5	4.7	2.7	9.3	10.25	14.4	2	2	
En-1	72.4	51.0	2.9	6.43	2.46	1.11	4	0.85	2	5.8	4.0	7	19	7.7	10.01	26	3	6	2

شکل ۶ تغییرات عناصر کمیاب نسبت به مقدار SiO₂ در سنگ‌های اسیدی (لوزی) و بازیک (مریع).



شکل ۷ تغییرات عناصر اصلی و کمیاب نسبت به مقدار SiO_2 در برونبوم‌ها (مربع توخالی) و سنگ میزبان (لوژی توپر).



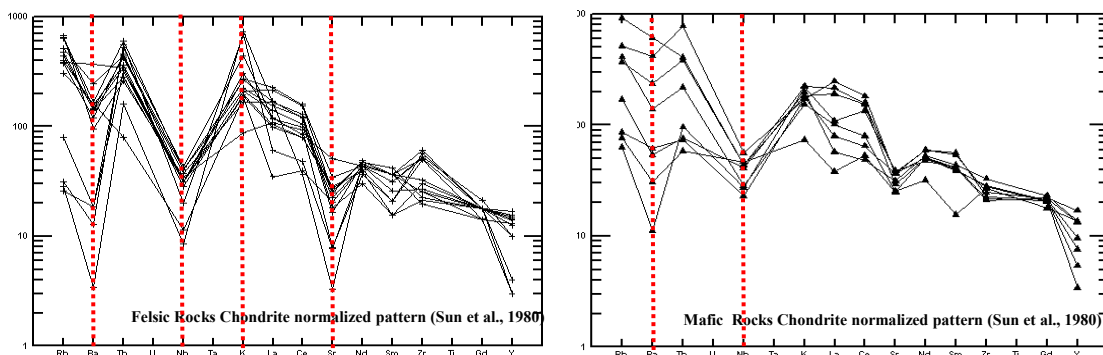
شکل ۸ نمودارهای عنکبوتی تغییرات عناصر فرعی بهنجار شده به مقادیر مورب [۵۹] به منظور مقایسه مقدار عناصر کمیاب در برونبوم‌ها و سنگ میزبان.

تشکیل مagma‌ای گرانیتی اشاره دارد. به منظور درک بهتر فرآیندهای مؤثر در تشکیل سنگ‌های منطقه و مقایسه آنها با هم از روش کوشیری [۶۱] بهره بردیم. در این روش می‌توان با قرار دادن دو عنصر کاملاً سازگار و ناسازگار (C_1 - C_2) در برابر هم، براساس روندهای بدست آمده، سه فرآیند مهم تبلور بخشی، ذوب‌بخشی و آمیختگی magma‌ای را تفکیک کرد؛ روند

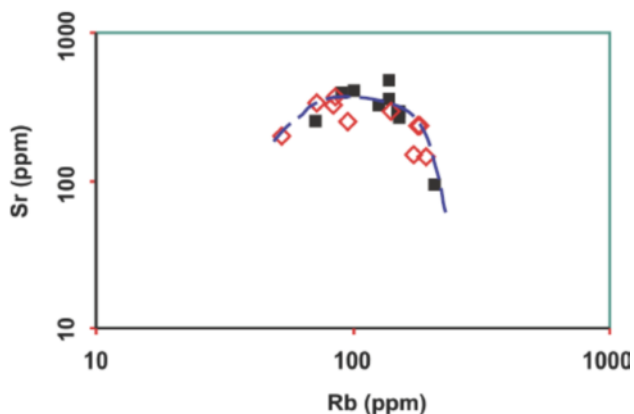
بیهنجاری منفی Nb , Ta , Ba , Sr و بیهنجاری مثبت و منفی Th در نمودارهای عناصر کمیاب بهنجار شده به مقادیر کندریت برای سنگ‌های اسیدی و بازیک منطقه (شکل ۹) [۶۰] بیانگر هماهنگی آنها با گرانیت‌های آهکی قلایای منطقه کمان است و افزون بر این، بیهنجاری منفی Nb و Ta و نسبت بالای LILE/HFSE به رخداد فرورانش و نقش پوسته در

(همراه با آلایش ماقمایی در برخی نمونه‌ها) که فرآیند موثر در سنگ‌های اسیدی و حدوات است و دیگری ذوب‌بخشی که فرآیند غالب در سنگ‌های بازیک منطقه بوده است. گرانیت‌ها و مذاب‌های گرانیتی می‌توانند فراورده ذوب منابع متفاوتی باشند.

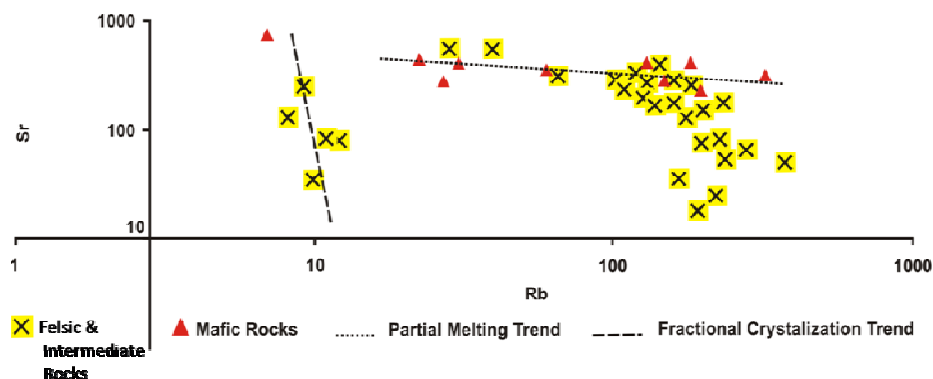
خطی افقی و مایل به افق مربوط به ذوب‌بخشی، روند خطی قائم و مایل به قائم مربوط به تبلور بخشی و روند منحنی شکل تغییرات این دو عنصر نشانه آمیختگی ماقمایی است (شکل-۱۰ و ۱۱). بر این اساس، دو روند عمده در سنگ‌های منطقه قابل تشخیص است: یکی مربوط به تبلور جدایشی



شکل ۹ نمودار عنکبوتی تغییرات عناصر فرعی بهنجار شده به مقادیر کندریت [۶۰] برای سنگ‌های اسیدی و بازیک در منطقه مورد بررسی.



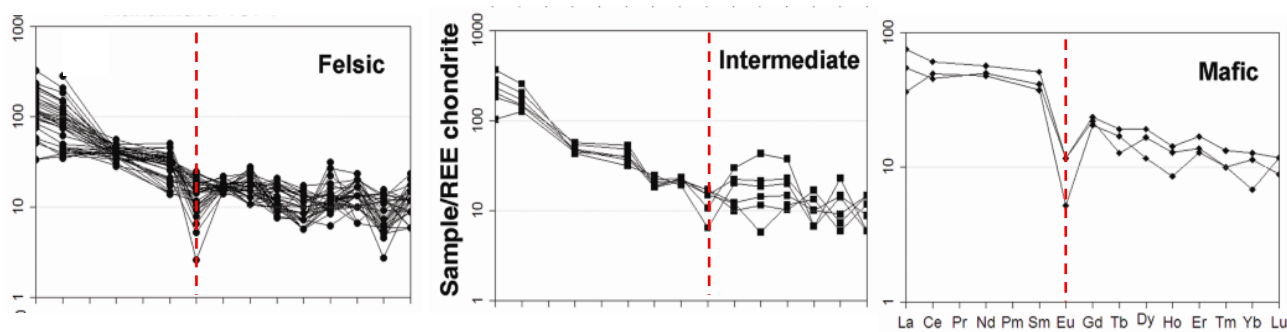
شکل ۱۰ نمودار لگاریتمی عنصر سازگار در برابر ناسازگار کوشیری [۶۱]. مهمترین نتیجه آرایش منحنی شکل نقاط در این نمودار، بی اثر بودن فرآیندهای تبلور جدایشی و ذوب بخشی بین برونویوم و سنگ میزان است.



شکل ۱۱ نمودار لگاریتمی عنصر سازگار در برابر ناسازگار [۶۱]. برای سنگ‌های اسیدی و بازیک منطقه. دو نوع روند برای نمونه‌های اسیدی و بازیک این منطقه دیده می‌شود: ۱- روند نزدیک به قائم و روند منحنی شکل نزدیک به قائم برای نمونه‌های اسیدی و حدوات منطقه که بیانگر تبلور تدریجی همراه با مقداری آلایش ماقمایی است و ۲- روند نزدیک به افق که بیانگر ذوب بخشی سنگ‌های بازیک است.

بازیک ۱/۸۹-۳/۱۰ است، در سنگ‌های اسیدی و اسیدی منطقه عناصر LREE‌ها غنی‌شدگی مشخص و HREE‌ها غنی‌شدگی ضعیفی نشان می‌دهند. این در حالی است که چنین تفاوت مشخصی در مورد سنگ‌های بازیک دیده نمی‌شود. به عقیده رولینسون [۵۷]، بالا بودن نسبت LREE/HREE را می‌توان به باقی ماندن گارنت در سنگ خاستگاه و تهی‌شدگی مذاب از HREE‌ها نسبت داد. نمونه‌های اسیدی و حدواسط منطقه دارای بیهنجاری منفی متوسط تا ناچیز یوروپیوم هستند ۱۳۳ - ۱,۱۶ = $Eu/Eu^* = ۰,۳۲$ و در این میان نمونه گرانیتی ۰/۳۷ - ۰,۱۸ = $Eu/Eu^* = ۰,۱۸$. بیهنجاری منفی در سنگ‌های اسیدی و حدواسط منطقه با جدایش فلدوپار پلازیوکلаз طی فرآیند ذوب و یا تبلور جدایشی قابل توجیه است [۶۵,۵۷]. با توجه به اینکه با افزایش روند جدایش در این سنگ‌ها، میزان بیهنجاری Eu به طور تقریباً منظم افزایش می‌یابد، اشاره به فرآیند جدایش پلازیوکلاز طی تبلور جدایشی نسبت به باقی ماندن آن در پسماند ذوب منطقی تر به نظر می‌رسد. از طرفی، بیهنجاری منفی LREE‌ها نسبت به HREE‌ها بیانگر درجه جدایش پایین این نمونه‌هاست و جدایش پلازیوکلاز در آنها با شواهدی چون حضور انباشتهای پلازیوکلاز در کنار پیروکسن-پلازیوکلاز در این بخش (کوه تنگساران) قابل توجیه است.

از این رو، تعیین دقیق سنگ خاستگاه آنها مشکل است. اما از آنجا که مقدار REE‌ها در کنترل تبلور فازهای با ضریب توزیع بالا چون اسفن، آپاتیت، هورنبلند و آلانیت است، اغلب می‌توان شکل الگوی REE‌ها را در قالب فرآیندهایی چون ذوب و یا تبلور توجیه کرد [۶۲]. الگوی بدست آمده از عناصر خاکی نادر در سنگ‌های اسیدی و حدواسط منطقه (شکل ۱۲) [۶۳] از نظم و توالی کاملاً مشخصی برخوردار نبوده اما در حالت کلی مشابه هم‌دیگر هستند، در حالی که تفاوت مشخصی با سنگ‌های بازیک منطقه نشان می‌دهند که بیانگر سرگذشت و سیر دگرگونی متفاوت آنهاست. به منظور مقایسه الگوی عناصر خاکی نادر در سنگ‌های بازیک و اسیدی منطقه، شبیه منحنی‌ها یعنی نسبت عناصر خاکی نادر سبک به سنگین (La_N/Yb_N) و تمرکز کلی این عناصر در نمونه‌های یاد شده (La_N/Sm_N برای ارزیابی تمرکز LREE‌ها و Gd_N/Yb_N برای ارزیابی تمرکز HREE‌ها) وجود و یا عدم وجود بیهنجاری Eu، مقدار Eu/Eu* = Eu_N/ $\sqrt{Sm_N^*Gd_N}$ براساس روش تیلور و مک لن [۶۴] محاسبه شد. نتایج نشان می‌دهد که نسبت La_N/Yb_N به عنوان معیاری از شبیه الگوی REE بیانگر غنی‌شدگی بیشتر LREE‌ها نسبت به HREE‌ها در سنگ‌های اسیدی و حدواسط منطقه (متوسط تا زیاد، ۶/۱ - ۳/۳) نسبت به سنگ‌های بازیک (متوسط تا زیاد، ۴/۳ - ۷) است. در واقع با توجه به اینکه نسبت La_N/Sm_N در سنگ‌های اسیدی و حدواسط منطقه برابر با ۱۲/۸۲ - ۰/۹۸ و در سنگ‌های بازیک ۱/۳۲ - ۰/۹۷ بوده و نسبت Gd_N/Yb_N در سنگ‌های اسیدی و حدواسط منطقه برابر با ۴/۱۶ - ۱/۰۴ و در سنگ‌های



شکل ۱۲ الگوی بیهنجار شده عناصر خاکی نادر سنگ‌های گرانوئیدی-مونزوگرانیتی، دیوریتی و گابرویی منطقه مورد بررسی [۶۳].

با آلایش پوسته‌ای یا آمیختگی ماقمایی ناقص و در مورد سنگ‌های بازیک ذوب‌بخشی یک سنگ خاستگاه احتمالاً فرابازی بوده است. الگوی عناصر خاکی نادر در سنگ‌های اسیدی و حدواسط منطقه در حالت کلی مشابه هستند، اما تفاوت مشخصی با سنگ‌های بازیک منطقه نشان می‌دهند که بیانگر سرگذشت و سیر دگرگونی متفاوت آنهاست. از دیگر شواهد این امر تفاوت شبیه الگوی عناصر خاکی نادر و در نتیجه نسبت La_N/Sm_N, LREE/HREE, مقدار Eu به عنوان شاخص میزان تمرکز LREE‌ها و Yb_N / Gd_N به عنوان معیار میزان تمرکز HREE‌ها و درجه بیهنجاری Eu است. در سنگ‌های اسیدی و حدواسط منطقه با توجه به اینکه با افزایش روند جدایش در این سنگ‌ها، بیهنجاری Eu به صورت تقریباً منظم افزایش می‌یابد، اشاره به فرآیند جدایش پلازیوکلاز طی تبلور جدایشی نسبت به باقی ماندن آن در پسماند ذوب، منطقی تر به نظر می‌رسد این در حالی است که بیهنجاری منفی Eu در سنگ‌های بازیک، شبیه ناچیز و غنی‌شده‌ی ضعیف HREE‌ها بیانگر جدایش پلازیوکلاز و نقش فرآیند ذوب بخشی است. شاید بتوان حضور انباشت‌های پلازیوکلاز در کنار پیروکسن-پلازیوکلاز کوه تنگساران را نیز با این سازوکار توجیه نمود. بنابراین با توجه به نکات زیر:

(الف) جایگاه زمین‌ساختی منطقه مورد بررسی در محل فروراش پوسته اقیانوسی نئوتیس و ارتباط حرکات زمین ساختی، (ب) فعالیت ژرف توده‌ای اسیدی و بازیک در این مناطق (پ) وجود شواهدی چون: بیهنجاری منفی Sr, Ba, Nb, Ta و بیهنجاری مثبت و منفی Th, همراه با بیهنجاری منفی Ta و Nb و نسبت بالای LILE/HFSE در اثبات نقش مواد پوسته‌ای و همانگی آنها با گرانیت‌های نوع آندی (مناطق فرورانشی) (ت) تغییرات گسترده نسبت Ba/La در توجیه نقش سیال‌های ناشی از اعمق پوسته قاره‌ای برای گرانیت‌های نوع I مجموعه آذرین نفوذی ملایر، (ث) ماهیت آهکی قلیایی پتاسیم بالا و حضور رخمنون‌ها، دایک‌ها، رگه‌ها و برونویوم‌های بازیک، (ج) شواهدی که پیش از این در مورد فرآیندهای موثر در ایجاد روندهای زمین‌شیمیایی سنگ‌های اسیدی - حدواسط و بازیک منطقه بیان شد می‌توان به این نتیجه رسید که ذوب بخشی یک منبع گوشه‌ای و رهایی سیال‌های سرشار از عناصر ناسازگار از پوسته اقیانوسی فرورو و گرما و سیال‌های آزاد شده از مذاب بازیک در حال صعود در پوسته در تشکیل و دگرگونی مذاب اسیدی اولیه آنها مؤثر بوده‌اند. افزون بر این، آمیختگی مذاب بازیک گوشه‌ای با مذاب برآمده از ذوب بخشی سنگ‌های

برداشت

براساس بازدیدهای صحرایی و بررسی‌های میکروسکوپی، مجموعه آذرین نفوذی ملایر در حالت کلی به سه بخش عمده گرانیتی، گرانودیوریتی و گابرودیوریتی تقسیم می‌شود. از ویژگی‌های مهم این مجموعه افزون بر دایک‌ها و رگه‌های بازیک که گرانیت‌ها را قطع کرده‌اند و یا در لبه توده‌ها دیده می‌شوند، حضور یک رخمنون بازیک با گسترش محدود و کانی‌شناسی و بافت مشخصه گابرو-دیوریتی اوژیت و الیوین‌دار با الیوین‌های کاملاً گرد شده، انباشت‌های پلازیوکلاز و پیروکسن-پلازیوکلاز در فاصله بین واحدهای دگرگونی و گرانودیوریت‌های است (که سطح تماس مشخصی با آنها ندارد). گرانیت‌های این منطقه دارای برونویوم‌های ماقمایی دیوریتی، کوارتزدیوریتی، مونزونیتی و کوارتزمونزونیتی هستند که تباين کانی‌شناسی مشخص و روندهای شیمیایی متمایزی با سنگ میزبان نشان می‌دهند. بر این اساس، تشکیل این برونویوم‌ها به حضور آنها به صورت بسته‌های ماقمایی بازیک در ماقمای میزبان نسبت داده‌اند برونویوم‌ها از نظر مقدار سیلیس ۵۹-۴۸٪ بین سنگ‌های بازیک (حدود ۴۸٪) و اسیدی-حدواسط (۷۸٪-۵۲٪) قرار دارند. بررسی‌های زمین‌شیمیایی در مقیاس عناصر اصلی و کمیاب بیانگر نوعی جدایش بین روندهای دیده شده برای سنگ‌های اسیدی منطقه با برونویوم‌ها و سنگ‌های بازیک هستند. از جمله این موارد عبارتند از: ناپیوستگی روندهای Na₂O و K₂O از سنگ‌های بازیک به اسیدی منطقه بعلت همبستگی ضعیف Na₂O و K₂O در برونویوم‌ها و سنگ‌های بازیک منطقه با SiO₂, مشاهده روند نزولی برای اکسیدهای CaO, Al₂O₃, P₂O₅ در سنگ‌های اسیدی منطقه بدليل مشارکت این عناصر در ساختار پلازیوکلازها و آپاتیت که با پیشرفت درجه جدایش، ترکیب پلازیوکلازها از آنورتیت در دیوریت‌ها به آلبیت در نمونه‌های اسیدی تر تغییر کرده است و مقدار آپاتیت در گرانودیوریت‌ها و مونزوگرانیت‌ها افزایش یافته است، این روند در سنگ‌های بازیک و برونویوم‌ها دیده نمی‌شود. روند خطی و کاهش پیشرونده مقادیر Cr, Ni و Co با افزایش SiO₂ از سنگ‌های بازیک به اسیدی و همگام با آن از برونویوم به میزبان، نشانگر ارتباط احتمالی بین این واحدها (از نوع آمیختگی ماقمایی ناقص) و خاستگاه بازیک‌تر برونویوم‌های ماقمایی نسبت به سنگ میزبان گرانیتی است. بر اساس روندهای دیده شده در نمودار دوتایی عناصر کمیاب سازگار و ناسازگار، فرآیند موثر در تشکیل گرانیت‌ها و دیوریت‌های منطقه (سنگ‌های اسیدی و حدواسط) جدایش ماقمایی همراه

- [11] Ahadnejad V., Valizadeh M.V., Esmaeli D., "The Role of Shear Zone on the Emplacement of Malayer Granitoid Rocks, NW Iran", Journal of Applied Sciences 23 (2008) 4238-4250.
- [12] Ahmadi-Khalaji A., Esmaely D., Valizadeh M.V., Rahimpour-Bonab H., "Petrology and geochemistry of the granitoid complex of Boroujerd, Sanandaj- Sirjan Zone, Western Iran", Journal of Asian Earth sciences, 29 (2007) 859–877.
- [13] Ghalamghash J., Mirnejad H., Rashid H., "Mixing and mingling of mafic and felsic magmas along the Neo-Tethys continental margin, Sanandaj-Sirjan zone, NW Iran: A case study from the Alvand pluton", N. Jb. Miner. Abh. 186, 1(2009) 79–93.
- [14] Asnaashary A., Hassanzadeh J., Wernicke B., Schmitt A.K., Axen G., Horton B., "Middle Jurassic flare-up and Cretaceous magmatic luul in the central Sanandaj-Sirjan arc, Iran: An analogy with the southwestern United States" GSA Annual Meeting(2009) Paper No.183-4.
- [15] Ahadnejad V., Valizadeh M.V., Deevsalar Reza., Rezaei Kakhkhai Mehdi., "Age and geotectonic position of the Malayer granitoids: Implication for plutonism in the Sanandaj-Sirjan Zone, W Iran", Neues Jahrbuch für Geologie und Paläontologie-Abhandlungen, 261 (2011) 61-75.
- [16] Moinevaziri H., Azizi H., Mehrabi B., Izadi F., "Oligocene Magmatism in the Zagros Thrust Zone (Sahneh-Marivan Area): Evidences for the second Neotethyan Subduction Occurrence in the Paleogene (in Persian)", Journal of Science, University of Tehran 34 (2008)113-122.
- [17] Ghasemi, H., Valizadeh, M. V., "Petrogenesis of granitoid body of Bouin-Miyandasht (SE Aliqudarz) (in Persian)", Geosciences Quarterly GSI. 2 (1993) 74 – 83
- [18] Sepahi, A. A., "Petrology of the Alvand plutonic complex with special reference on Granitoids (in Persian)"Ph. D. Thesis (in Persian), Tarbiat Moallem University of Tehran, Iran (1999) 325.
- [19] Ahmadi Khalaji, A., "Petrology of the granitoid rocks of the Boroujerd area (in Persian)", Ph.D Thesis(in Persian), University of Tehran, Tehran, Iran.(2006)
- [20] Sepahi a.a., "Typology and petrogenesis of granitic rocks in the Sanandaj-Sirjan metamorphic belt, Iran: with emphasis on the Alvand plutonic complex", N. Jb. Geol. Paläont. Abh., 247(2008) 295–312.
- [21] Deevsalar, R. "Petrology, geochemistry and tectonomagmatic evolution of mafic-intermediate rocks from the Malayer-Boroujerd plutonic

پوسته قاره‌ای (مثل متاآندزیت و متابازالت آندزیتی) در اعماق پوسته منجر به تشکیل برونویوم‌های ماقمایی بازیک، دایک‌ها و توده بازیک شده است.

مراجع

- [1] Berberian M., King G.C.P., "Toward a paleogeography and tectonic evolution of Iran", Canadian Journal of Earth Science, 18 (1981) 210–265.
- [2] Koop W., Sloneley R., "Subsidence history of the Middle East Zagros basin, Permian to Recent", Philos.Trans. R. Sot. London. Ser. A. 305(1982) 149-148.
- [3] Sengör A.M.C., "A new model for the Late Paleozoic–Mesozoic tectonic evolution of Iran and implications for Oman, In: Robertson, A.H.F., Searle M.P., Ries A.C. (Eds.): The Geology and Tectonics of the Oman region", Geological Society, London, Special Publication, 49(1990) 797–831.
- [4] Kazmin V.G., "Collision and rifting in the Tethys ocean: geodynamic implications", Tectonophysics, 196(1991) 371–384.
- [5] Alavi M., "Structures of the Zagros fold-thrust belt in Iran", American Journal of Sciences, 307 (2007) 1064 – 1095.
- [6] Grabowski J.R., Norton G.J., "Tectonic controls on the stratigraphic architecture and hydrocarbon systems of the Arabia Plate", The Middle East Petroleum Geosciences (GEO), 1 (1994) 413–430.
- [7] Mohajjal M., Fergosen C.L., "Dextral transpression in Late Cretaceous continental collision, Sananda-Sirjan Zone, western Iran", Journal of Structural Geology 22(2000) 1125–1139.
- [8] Stampfli G.M., Mosar J., Faver P., Pillevuit A., Vannay C.J., "Permo–Mesozoic evolution of the western Tethyan realm: the Neotethys/East-Mediterranean 2001connection. Peritethys memoir 6: peritethyan rift/wrench basins and passive margins", International Geological Correlation Program, 369(2001) 51–108.
- [9] Ghasemi A., Talbot C.J., "A new tectonic scenario for the Sanandaj–Sirjan Zone (Iran)", Journal of Asian Earth Sciences, 26 (2006) 683–693.
- [10] Mazhari S.A., Bea F., Amini S., Ghalamghash S., "Estimation of pressure and temperature of intrusive rocks crystallization: A case study of Naqadeh, Pasveb and Delkeh plutons, W Iran", Journal of Applied Sciences, 8 (2008) 934-945.

- Journal of Mineralogy and Geochemistry, 2019 (doi: 10.1127/njma/2019/0131).
- [30] Vernon R.H., "A Practical Guide to Rock Microstructure", Cambridge University Press (2004) 594 .
- [31] Yashikura S., Yamawaki Y., "Mafic-felsic magma interactions in the A-type granitoids of the Cape Ashizuri Complex, southwest Japan. In The Origin of Granites and Related Rocks", Fourth Hutton Symposium abstracts, Clermont-Ferrand, France (1999) 41.
- [32] Deevsalar, R., Valizadeh, M. V., Esmaeili, D., Ahadnejad, V., "The geochemical study on mafic magmatic enclaves from the Malayer Plutonic Complex, W Iran(in Persian)", Journal of Science, University of Tehran 35 (2009) 71-85.
- [33] Deevsalar, R., Valizadeh, MV., "The Using of Field and Microstructural Evidence in Determination of the Origin of Magmatic Enclaves and Metapelitic Xenoliths in Malayer Plutonic Complex (West Of IRAN) (in Persian)", Geosciences Quarterly GSI 19 (2010) 9-16.
- [34] Bateman P.C., Clack, L.D., Huber, N.K., Moore, J.G and Rinehart C.D., "The Sierra Nevada Batholith – a synthesis of recent work across the central part", U.S. Geol. Surv. Prof. Paper, 414 (1963) 46 .
- [35] Bateman P.C., Chappell B.W., "crystalization, fractionation, and solidification of the Tuolumne Intrusive Series, Yeosemite National Park, California", Geol. Soc. Am. Bull 90 (1979) 465-482.
- [36] Richter D.H., Lanphere M.A., Matson N.A., "Granitic plutonism and metamorphism, eastern Alaska Range", Alaska. Geol. Soc. Am. Bull 86 (1975) 819-829.
- [37] Olade M.A., "geochemical, evolution of copper-bearing granitic rocks of Guichon Creek Batholith; British Columbia, Canada", Can. Jour. Earth Sci 13 (1976) 199-209.
- [38] Harris N.B.W., Pearce J.A., Tindle A.G., "Geochemical characteristics of collision-zone magmatism. In: Coward M.P., Ries. A.C. (eds). Collision Tectonics", Geological Society,19 (1986) p.67-81.
- [39] Condie, K.C., "Archean and crustal thickening", Geol. Soc. Am. Bull. 84 (1989) 2981–2992.
- [40] Floyd P.A., Winchester J.A., "Magma type and tectonic setting discrimination using immobile elements", Earth and Planetary Science Letters 27 (1975) 211-218.
- [41] Rogers J.J.W., Bodgea K.V., Ghuma Y.A. "Trace elements in continental margin magmatism: Part 11; trace elements in Ben Ghnema Batholith complex, northern Sanandaj-Sirjan magmatic zone, Iran (in Persian)", Thesis Tarbiat Modares University (TMU), Iran (2015).
- [22] Deevsalar, R., Ghorbani, M. R., Ghaderi, M., Ahmadian, J., Murata, M., Ozawa, H., Shinjo, R. "Geochemistry and petrogenesis of arc-related to intraplate mafic magmatism from the Malayer-Boroujerd plutonic complex, northern Sanandaj-Sirjan magmatic zone, Iran. Neues Jahrbuch für Geologie und Paläontologie, Abhandlungen" 274 (2014) 81–120.
- [23] Deevsalar R, Shinjo R, Wang K-L, Yeganehfar H, Neill Ia. "Gabbroic-dioritic dykes from the Sanandaj-Sirjan Zone: windows on Jurassic and Eocene geodynamic processes in the Zagros Orogen, western Iran." Journal of the Geological Society 175 (2018): 915-933.
- [24] Deevsalar, R., Shinjo, R., Ghaderi, M., Murata, M., Hoskin, P. W. O., Oshiro, S., Neill, I. "Mesozoic-Cenozoic mafic magmatism in Sanandaj-Sirjan Zone, Zagros Orogen (Western Iran): Geochemical and isotopic inferences from Middle Jurassic and Late Eocene gabbros", Lithos 284 (2017), 284 588□–□607. <https://doi.org/10.1016/j.lithos.2017.05.009>
- [25] Deevsalar, R., Shinjo, R., Liégeois, J. P., Valizadeh, J. P., Ahmadian, J., Yeganehfar, H., Neill, I. "Subduction-related mafic to felsic magmatism in the Malayer-Boroujerd plutonic complex, western Iran". Swiss Journal of Geosciences, 111(2018), 269□–□293. <https://doi.org/10.1007/s00015-017-0287-y>.
- [26] Deevsalar, R., Valizadeh, M. V., & Ahadnejad, V. "Tectonic setting and origin of Malayer Plutonic Complex (in Persian)", Journal of Science, Kharazmi University, 8 (2009) 205□–□226.
- [27] Deevsalar, R., Valizadeh, M. V., & Ahadnejad, V. "Determining the nature of magmatic encalves in granites from the Malayer plutonic complex based on geochemical and statistical methods (in Persian)", Geosciences Quarterly GSI 21 (2011) 129□–140.
- [28] Eftekharnejad J., "Tectonic division of Iran with respect to sedimentary basins (in Persian)", Journal of Iranian Petroleum Society 82(1981) 19–28.
- [29] Yeganehfar, H., Deevsalar, R., Ahadnejad, V., Shinjo, R & Neill, I. "Biotite compositional variations — A physicochemical approach to investigate crustal involvement and Cu-Au ore potential in Middle Jurassic plutonic rocks from the Malayer-Boroujerd Plutonic complex, W Iran", Neues Jahrbuch für Mineralogie – Abhandlungen,

- [53] Vernon R.H., "Restite, xenoliths and microgranitoid enclaves in granites", Journal and Proceedings of Royal Society of New South Wales, 116 (1983) 77–103.
- [54] Piccoli P.M., Candela P.A., "Apatite in igneous system: in Kohn, M.J., Rakovan, J., Hughes, J.M. (eds.), *Reviews in Mineralogy and Geochemistry*", Washington DC, The Mineralogical Society of America 48 (2002) 255–292.
- [55] Hibbard M., "Textural anatomy of twelve magma mixed granitoid systems, in Didier J., Barbarin, B. (Eds.), *Enclaves and Granite Petrology*", Developments in Petrology, 13(1991) 431–444.
- [56] Mason B., Moore C.B., "Principles of Geochemistry", John Wiley and Sons: New York (1982).
- [57] Rollinson H.R., "Using Geochemical Data: Evaluation, Presentation, Interpretation", HarlowLongman (1993) 352.
- [58] Arvin M., Dargahi S., Babaei A.A., "Petrogenesis and origin of the Chenar granitoid stock, NW of Kerman, IRAN: Evidence of neotectonic subduction related arc magmatism", Journal of Asian Earth Sciences, 24 (2004) 105–113.
- [59] Pearce, Julian A. "Role of the sub-continental lithosphere in magma genesis at active continental margins", (1983) 230-249
- [60] Sun S S, Bailey D K., Tarney J., Dunham K ., "Lead isotopic study of young volcanic rocks from mid-ocean ridges, ocean islands and island arcs", Philos Trans R Soc London 297(1980) 409-445.
- [61] Cocherie A., "systematic use of trace element distribution pattern in log-log diagrams for plutonic suite", Geochemical et cosmochemica acta 50 (1986) 25217-2522.
- [62] Henderson P., "General geochemical properties and abundances of the rare earth elements", In Rare Earth Element Geochemistry (ed. P. Henderson) Elsevier, Amsterdam (1984) 1–32.
- [63] Sun S. S., McDonough W.F., "Chemical and isotopic systematic of ocean basalts: Implication for mantle composition and processes, In: Saunders, A.D. and Norry, M. J., Ed., *Magmatism in Ocean Basins*", Geological Society of London Special Publication 42 (1989) 313-345.
- [64] Teylor S.R., Mc Lenon S.M., "The continental crust, its composition and evolution", Blackwell scientific publication, Oxford (1985) 312.
- [65] Hotz P.E., "Plutonic rocks of the Kamath Mountains , California and Oregon", U.S. Geol.. Surv. prof. Paper (1971) 684-B.
- and nature of the Precambrian crust in central North Africa", Geol. Soc. Am. Bull 91 (1980) 1742-1788.
- [42] Saunders A.D., Thurney J., Weaver S.D., "Transverse geochemical variations across the Antarctic Peninsula: implications for the genesis of calc-alkaline magmas", Earth and Planetary Sciences (1980) 210-220.
- [43] Rogers G., and Hawkesworth C.J., "A geochemical traverse across the North Chilean Andes: evidence for crust generation from the mantle wedge", Earth and Planetary science Letters, 91(1989) 271-285.
- [44] Sajona F.G, Bellon, R.C. Cotton J. and Defant M., "High field strength elements of Pliocene-Pleistocene island-arc basalts Zamboanga Pensilvania, Western Mindanao(Philippines)", Journal of Petrology, 37 (1996) 693-726.
- [45] Roberts M.P., Clemens J.D., "Origin of high-potassium, calc-alkaline, I-type granitoids", Geology 21 (1993) 825-828.
- [46] Vernon R.H., "Restite, xenoliths and microgranitoid enclaves in granites", Journal and Proceedings of Royal Society of New South Wales, 116 (1983) 77–103.
- [47] Chappell B.W., White A.J.R., "Two contrasting granite types: 25 years later", Australian Journal of Earth Sciences 48 (2001) 489-499.
- [48] Whalen J. B., Currie K. L., Chappell B.W., "A - Type granite: Geochemical characteristics, discrimination and petrogenesis", Cont. Min. Petrol 95 (1987) 407-419.
- [49] Kumar S., Rino V. "Mineralogy and geochemistry of microgranular enclaves in Palaeoproterozoic Malanjkhand granitoids, central India: evidence of magma mixing, mingling, and chemical equilibration" Contrib.Mineral.Petrol 152(2006) 591–609.
- [50] Zorpi M.J., Coulon C., Orsini J.B., "Hybridization between mafic and felsic magma in calc – alkalin granitoids – a case study northern Sardinia, Italy. In: A, Peccerillo (Guest – Editor) *Geochemistry of granitoid rockes*", Chem.GeoL 92 (1991) 42-86.
- [51] Kumar S., "Microstructural evidence of magma quenching inferred from enclaves hosted in the Hodrus a granodiorites, Western Carpathians", Geol. Carpath. 46 (1995) 379–382.
- [52] Kumar S., Rino V., Pal A.B., "Field evidence of magma mixing from microgranular enclaves hosted in Palaeoproterozoic Malanjkhand granitoids Central India", Gondwana Res 7 (2000) 539–548.